



UNIVERSIDADE FEDERAL DE CAMPINA GRANDE

CENTRO DE CIÊNCIAS E TECNOLOGIA

DEPARTAMENTO DE ENGENHARIA ELÉTRICA

TRABALHO DE CONCLUSÃO DE CURSO

ORIENTADOR: LUÍS REYES ROSALES MONTERO, Dr.

ALUNO: VINÍCIUS DE SOUZA MELO

TÍTULO:

"DESENVOLVIMENTO DE UM REGULADOR DIGITAL DE

TENSÃO PARA ENSAIOS DE TRANSFORMADORES DE

POTÊNCIA DE DISTRIBUIÇÃO "

Campina Grande, Outubro de 2005, PB – Brasil



UNIVERSIDADE FEDERAL DE CAMPINA GRANDE

CENTRO DE CIÊNCIAS E TECNOLOGIA

DEPARTAMENTO DE ENGENHARIA ELÉTRICA

TRABALHO DE CONCLUSÃO DE CURSO

Título:

"DESENVOLVIMENTO DE UM REGULADOR DIGITAL DE

TENSÃO PARA ENSAIOS DE TRANSFORMADORES DE

POTÊNCIA DE DISTRIBUIÇÃO "

Projeto Final de Conclusão de Curso apresentado à coordenação do curso de Engenharia Elétrica da UFCG como parte dos requisitos necessários à obtenção do título de Engenheiro Eletricista

ORIENTADOR: LUÍS REYES ROSALES MONTERO, Dr.

ALUNO: VINÍCIUS DE SOUZA MELO

Campina Grande, Outubro de 2005, PB – Brasil



Biblioteca Setorial do CDSA. Fevereiro de 2021.

Sumé - PB

**"DESENVOLVIMENTO DE UM REGULADOR DIGITAL DE
TENSÃO PARA ENSAIOS DE TRANSFORMADORES DE
POTÊNCIA DE DISTRIBUIÇÃO "**

por

VINÍCIUS DE SOUZA MELO

Banca examinadora:

LUÍS REYES ROSALES MONTERO, Dr., DEE, UFCG

Orientador

LEIMAR DE OLIVEIRA, DR., DEE, UFCG

Componente da banca

Campina Grande, Outubro de 2005, PB – Brasil

Aos meus pais

Agradecimentos

A meu pai, o engenheiro eletricista, **Nicolau Pequeno de Melo**, dono da empresa Transformadores Campinense, pelo apoio logístico e discussão que culminou no tema do trabalho de conclusão de curso em cima de uma aplicação na empresa.

Ao Professor do DEE-UFCG **Luís Reyes Rosales Montero**, Dr., pela orientação do Trabalho de Conclusão de Curso, coordenando e orientando todas as etapas do trabalho, além de discussões técnicas e correção do texto escrito, bem como pelo seu apoio moral.

Ao técnico **Lúcio Hélio da Costa de Santana**, fabricante da placa de treinamento do PIC (microcontrolador utilizado neste trabalho), pela apoio no início dos estudos sobre o microcontrolador PIC, bem como outros aspectos relevantes no trabalho.

Ao professor do CEFET-PE (curso de eletromecânica) **Alberto Willian Mascarenhas**, Doutorando., pela valorosa contribuição quando do estudo do microcontrolador PIC, além de discussões valorosas sobre o tema, dando imenso impulso ao início dos trabalhos com o microcontrolador.

Ao eng. eletricista, professor do DEM-UFCG, **Pedro Ronaldo H. de Holanda**, Doutorando, pelas importantes discussões sobre problemas que surgiram no projeto eletrônico, além de discussões em geral sobre o projeto, ajudando a resolver efetivamente um grande problema do circuito eletrônico.

Ao professor do DEM-UFCG, **Cícero da Rocha Souto**, Doutorando., pelas discussões em geral sobre os problemas de eletrônica e mecânica que iam surgindo, bem como na documentação do trabalho (fotos e filmagens).

Ao professor do DEE-UFCG, **Alexandre Cunha Oliveira**, Dr., pelas discussões a cerca de microcontroladores.

Ao professor do DEE-UFCG, **Leimar de Oliveira**, Dr., pelas importantes contribuições na revisão do texto escrito e apoio.

Ao professor do DEE-UFCG, **Edison Roberto C. da Silva**, Dr., pelas discussões a cerca de eletrônica de potência.

Ao aluno de eng. elétrica, **Adriano Magno Rodrigues da Silva**, que iniciou os estudos de microcontroladores comigo e incentivou-me na continuidade do mesmo.

Ao aluno de eng. mecânica, **Janaílson Oliveira Cavalcante**, que auxiliou nas fotografias do protótipo.

RESUMO

Este trabalho trata da construção de um regulador digital de tensão para ensaios de transformadores de distribuição com auto-transformador de 10 kVA (trifásico) e de pequenos transformadores com variac de 150 VA (monofásico), a partir da utilização de um microcontrolador PIC 16F877, programado com a linguagem C++, que controla um motor CC que por sua vez desloca contatos elétricos no auto-transformador trifásico, ou no variac (monofásico), conforme a necessidade. A não utilização de eletrônica de potência através de tiristores (por exemplo) se justifica pela exigência em normas de ensaios por uma onda senoidal pura na realização dos mesmos.

Foi construído um sistema de ajuste de tensão com interface homem-máquina usando teclado e LCD (display) onde o usuário digita a tensão requerida e acompanha o valor em tempo real através do LCD.

Foram realizados testes experimentais em transformadores de 10 kVA a 75 kVA (ensaio de curto-circuito e circuito aberto) com êxito a partir do protótipo construído.

O sistema mostrou-se consistente na automação do ensaio de transformadores para obtenção rápida de laudos de transformadores exigidos pelas concessionárias para instalação dos mesmos.

Palavras-Chave: controle de tensão, microcontrolador PIC 16F877, motor cc, auto-transformador, regulador digital.

"A termodinâmica clássica, devido à simplicidade de suas premissas e ao grande número de assuntos a que se aplica, é a única teoria física de conteúdo geral sobre a qual estou convencido que dentro dos limites de aplicação de seus conceitos fundamentais nunca será refutada"

Einstein.

SUMÁRIO

CAPÍTULO 1	INTRODUÇÃO	01
	1.1 - MOTIVAÇÃO	02
	1.2 - PROPOSTA	03
CAPÍTULO 2	INTERFACE HOMEM-MÁQUINA	06
	2.1 - LEITURA DE UM TECLADO	07
	2.2 - O LCD	12
CAPÍTULO 3	RESULTADOS EXPERIMENTAIS	15
	3.1 - CIRCUITO ELETRÔNICO	16
	3.2 - CIRCUITO IMPRESSO	19
	3.3 - SERIGRAFIA DO CIRCUITO IMPRESSO	23
	3.4 - CONSTRUÇÃO DA FONTE PARA O MOTOR CC	25
	3.5 - CONSTRUÇÃO DA TRANSMISSÃO MECÂNICA ENTRE O MOTOR CC E O VARIAC	29
	3.6 - CONSTRUÇÃO DA TRANSMISSÃO MECÂNICA PARA O AUTO-TRANSFORMADOR	34
	3.7 - DISCUSSÕES	37
CAPÍTULO 4	CONCLUSÕES E SUGESTÕES PARA TRABALHOS FUTUROS	39
	5.0 REFERÊNCIAS BIBLIOGRÁFICAS	41
ANEXO I	O MICROCONTROLADOR PIC 16F877	42
ANEXO II	PROGRAMA PRINCIPAL UTILIZADO NO PIC EM LINGUAGEM C	51
ANEXO III	DEFINIÇÕES E DIRETIVAS UTILIZADAS PELO COMPILADOR PARA O PIC 16F877 EM LINGUAGEM C	61
ANEXO IV	PROGRAMA PARA COMUNICAÇÃO ENTRE O LCD E O PIC 16F877 EM LINGUAGEM C - FEITO POR FÁBIO PEREIRA EM SEU LIVRO	69
ANEXO V	PROGRAMAÇÃO E GRAVAÇÃO DO MICRO- CONTROLADOR	76
	5.1 - GRAVADOR DO MICROCONTROLADOR	77

	5.2 - A PROGRAMAÇÃO DO MICROCONTROLADOR	80
ANEXO VI	MODELO DE LAUDO TÉCNICO	88

LISTA DE FIGURAS

Figura 1.1	Esquema do dispositivo para ensaio de transformadores	03
Figura 1.2	Esquema da tomada de decisão para variar a tensão no auto-transformador ou variac (conforme o caso) através do motor CC.	04
Figura 2.1	Diagrama de ligação esquemático de um teclado de 12 teclas no sistema linhas e colunas, associado a um LCD e uma transmissão serial via MAX 232.	08
Figura 2.2	Teclado utilizado no protótipo e seu LCD.	11
Figura 2.3	Tipos de LCD mais utilizados.	12
Figura 2.4	Esquema de ligação entre o LCD e o microcontrolador.	13
Figura 3.1	Alimentação da placa	16
Figura 3.2	Alimentação e controle dos relés de chaveamento do motor CC.	17
Figura 3.3	Alimentação do microcontrolador e ligação com o teclado e LCD.	18
Figura 3.4	Esquema do circuito total utilizado na confecção da placa.	19
Figura 3.5	Desenho posterior do circuito impresso.	20
Figura 3.6	Desenho anterior do circuito impresso.	20
Figura 3.7	Desenho completo, anterior e posterior do circuito impresso.	21
Figura 3.8	Face posterior da placa modificada.	22
Figura 3.9	Face posterior da placa modificada.	22
Figura 3.10	Faces anterior e posterior juntas da placa modificada.	23
Figura 3.11	Tela serigráfica utilizada para imprimir na placa de cobre.	24
Figura 3.12	Placa de circuito impresso, face anterior, com os componentes soldados.	24
Figura 3.13	Placa de circuito impresso, face posterior, com os componentes soldados.	25

Figura 3.14	Esquema elétrico da alimentação do motor CC, utilizado para mover os contatos elétricos do Transformador.	25
Figura 3.15	Motor cc utilizado no protótipo.	26
Figura 3.16	Caixa do protótipo com o transformador e ponte onda completa para o motor cc.	28
Figura 3.17	Estrutura com Variac (em cima) e motor cc (embaixo da figura) para transmissão por correia.	29
Figura 3.18	Estrutura com variac e motor cc (acima da figura) e caixa do protótipo (abaixo)	30
Figura 3.19	Detalhe da transmissão por correia entre o variac e o redutor de velocidade do motor cc.	30
Figura 3.20	Detalhe da transmissão por correia entre o variac e o redutor de velocidade do motor cc (outra vista).	31
Figura 3.21	Detalhe da transmissão por correia entre o variac e o redutor de velocidade do motor cc (outra vista).	31
Figura 3.22	Detalhe do protótipo (vista lateral)	32
Figura 3.23	Vista em perspectiva do protótipo.	32
Figura 3.24	Vista superior do protótipo sem a tampa	33
Figura 3.25	Vista frontal do protótipo sem a tampa de vidro.	33
Figura 3.26	Vista frontal do auto-transformador trifásico e sua transmissão mecânica.	34
Figura 3.27	Vista lateral do protótipo com esquema de ligação elétrico variac ou auto-transformador trifásico	35
Figura 3.28	Vista frontal do auto-transformador trifásico e sua transmissão mecânica.	36
Figura 3.29	Nova vista do auto-transformador.	36
Figura 3.30	Vista frontal do auto-transformador.	37
ANEXO I		
Figura 1.1	Diagrama com a pinagem do PIC 16F877	44
Figura 1.2	Diagrama de blocos do PIC 16F877 com sua estrutura interna.	47

Figura 1.3	Diagrama dos quatro subciclos da execução de uma instrução no microprocessador.	48
Figura 1.4	Diagrama dos quatro subciclos da execução de uma instrução no microprocessador.	49
ANEXO V		
Figura 5.1	Placa comercial da Microlabs para treinamento e projeto de microcontroladores PIC 16F628A (18 pinos).	77
Figura 5.2	Esquema de ligação entre a placa da Microlabs para pics de 18 pinos e a aplicação em outros tipos de pics.	78
Figura 5.3	Esquema de um gravador para pics que pode ser montado.	79
Figura 5.4	Esquema elétrico do gravador para Pics (opcional).	79
Figura 5.5	Iniciando o Pic C Compiler	80
Figura 5.6	Criando um projeto	80
Figura 5.7	Criando um projeto modo manual	81
Figura 5.8	Indicando pasta onde devem ser alocados todos os arquivos gerados pelo projeto	81
Figura 5.9	Indicando o tipo de microcontrolador a ser utilizado, no caso o PIC 16F877.	82
Figura 5.10	Digitação do código associado ao projeto.	82
Figura 5.11	Compilação do projeto e geração dos arquivos em Hexadecimal para gravação.	83
Figura 5.12	Inicialização do EPICWIN a partir de sua pasta de trabalho.	83
Figura 5.13	Visão do software EPICWIN quando inicializado.	84
Figura 5.14	Abertura do arquivo compilado em hexadecimal para gravação.	84
Figura 5.15	Indicação do arquivo com extensão .HEX	85
Figura 5.16	Indicação do tipo de microcontrolador PIC utilizado.	85
Figura 5.17	Início da gravação do microcontrolador.	86
Figura 5.18	Início da gravação do microcontrolador.	86
Figura 5.19	Início da gravação do microcontrolador, outra vista.	87

LISTA DE TABELAS

Tabela 2.1	Configuração dos pinos do LCD	13
ANEXO I		
Tabela 1.1	Nomenclatura dos pinos do PIC 16F877	44
Tabela 1.2	Características elétricas.	50

CAPÍTULO 1

INTRODUÇÃO

CAPÍTULO 1 - INTRODUÇÃO

1.1 MOTIVAÇÃO

As empresas concessionárias de distribuição de energia elétrica exigem um laudo técnico do transformador novo ou remanufaturado (ver anexo 6). Para poder instalá-lo, são exigidos dados como relação de tensão, impedância e perdas. Estes dados são calculados a partir de ensaios de curto-circuito e circuito aberto, além de ensaios para se verificar a qualidade do óleo isolante do transformador, entre outras.

No mercado já existem equipamentos de alto nível de automação para realizar ensaios de transformadores. Entretanto devido ao seu alto custo, só os fabricantes os possuem. As empresas de remanufatura necessitam desenvolver suas próprias soluções em termos de equipamentos para realizar seus ensaios.

O objetivo deste trabalho foi iniciar um processo para a busca da automação dos ensaios de transformadores na empresa. Para isso a Empresa de Transformadores Campinense, de propriedade do eng. eletricista Nicolau Pequeno de Melo, localizada no distrito dos mecânicos em Campina Grande, PB, se dispôs a associar-se neste estudo dando todo o suporte para construção do produto alvo deste trabalho que é utilizado pelo laboratório de ensaios da empresa para os transformadores remanufaturados (manutenção) a um custo mais baixo e de maneira mais rápida, buscando automatizar cada vez mais o processo.

1.2 PROPOSTA

O trabalho foi desenvolvido junto à empresa Transformadores Campinense, com o intuito de criar um dispositivo para controlar a tensão em um auto-transformador trifásico de 10 kVA para ensaio de transformadores de distribuição ou controlar a tensão em um variac de 150 VA, utilizado para ensaios de transformadores monofásicos de pequeno porte.

A Fig. 1.1 ilustra esquematicamente o sistema proposto para automatizar o ensaio dos transformadores

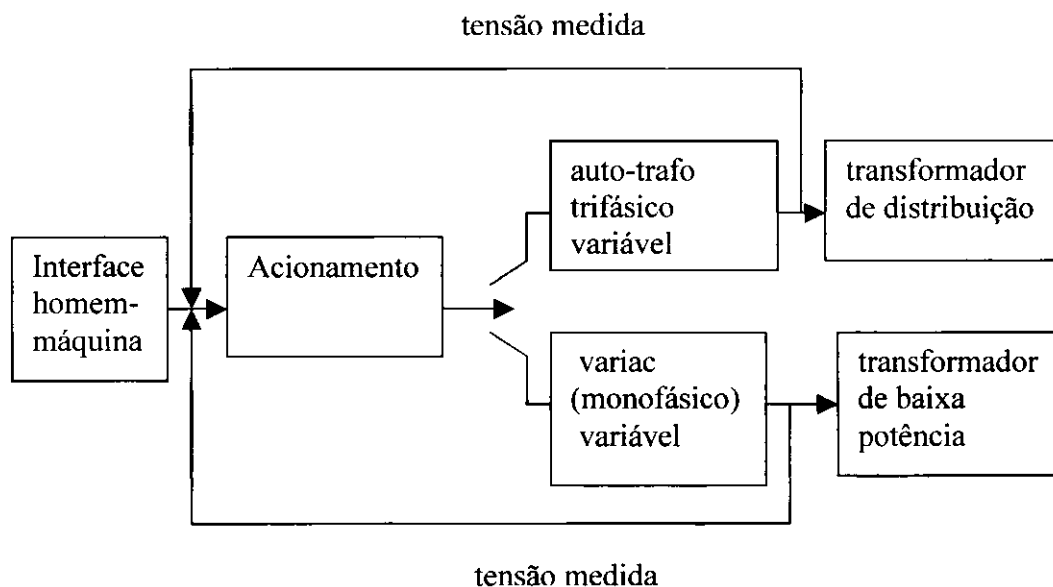


Figura 1.1 - Esquema do dispositivo para ensaio de transformadores

Observe que a partir da interface homem-máquina, através de um teclado e LCD (display) se digita a tensão requerida e se acompanha em tempo real a tensão medida no auto-transformador trifásico ou no variac (conforme o caso), com contatos elétricos móveis se pode acionar um ou outro. A regulagem da tensão é feita por contatos móveis que são acionados a partir de um motor CC que por sua vez é controlado conforme a tensão atual por um sistema de relés que fazem o mesmo girar em sentido horário ou anti-horário, aumentando ou diminuindo a tensão requerida.

Usou-se o microcontrolador PIC 16F877 como o cérebro da aquisição de dados e controle do sistema. Um motor cc é utilizado em série com redutores de velocidade mecânico e transmissão via correias, para movimentar contatos elétricos a base de carvão e fazer assim variar a tensão senoidal pela variação das espiras entre secundário e primário do auto-transformador ou do variac, conforme o caso de se ensaiar transformadores de distribuição ou transformadores de pequeno porte, sem os inconvenientes das harmônicas provocadas quando da utilização de eletrônica de potência com tiristores, visto que com o corte abrupto da onda, com fins de controlar a potência geram-se harmônicos que não são recomendados pela norma de ensaios de transformadores, que indica a utilização de onda senoidal pura.

Na Figura 1.2 está o esquema da realimentação da informação sobre a tensão e a correspondente tomada de decisão para fazer o motor CC girar no sentido horário, anti-horário ou parar, caso se queira aumentar, diminuir ou manter a tensão no auto-transformador trifásico ou no variac conforme o caso requerido.

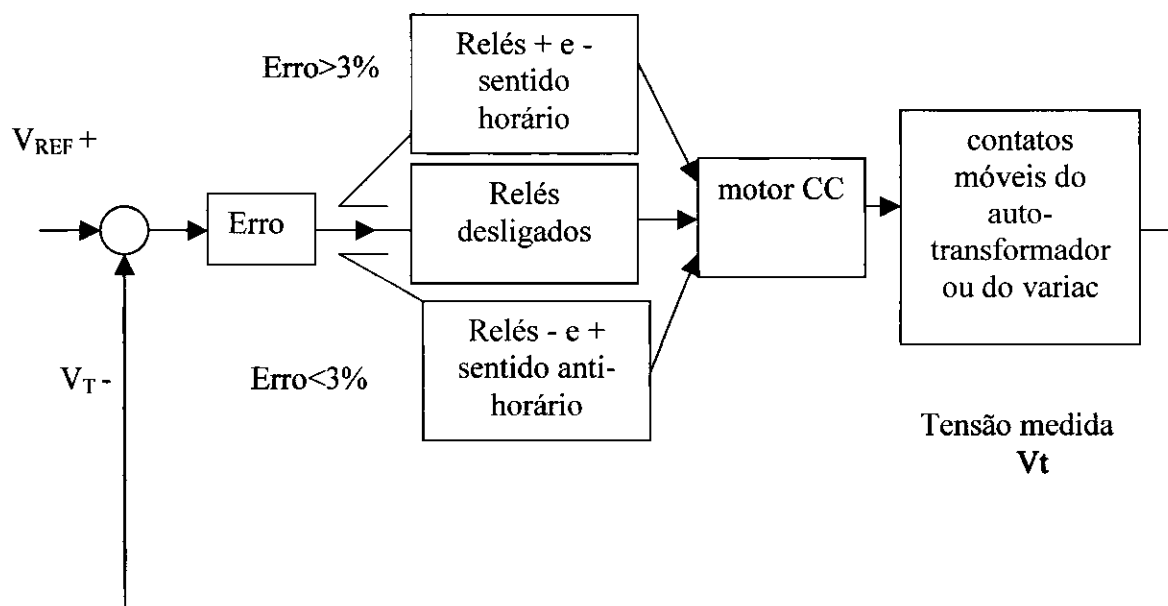


Figura 1.2 - Esquema da tomada de decisão para variar a tensão no auto-transformador ou variac (conforme o caso) através do motor CC.

Ao longo do trabalho serão abordadas todas as etapas desde o conhecimento do microcontrolador, passando pela linguagem de programação C++ utilizada na

elaboração do código do programa do PIC, até a como gravar o programa no mesmo a partir do microcomputador. O esquema elétrico da placa com sua respectiva construção, até os detalhes da construção da fonte de alimentação do motor cc utilizado e do sistema de transmissão de movimento.

O capítulo 2 trata da interface homem-máquina, onde foi desenvolvido com um teclado, onde se digita uma tensão de referência desejada e um LCD (display) onde se acompanha em tempo real a tensão do regulador.

O capítulo 3 trata dos resultados experimentais, consistindo da obtenção de cada etapa da construção do produto, do protótipo eletro-mecânico, desde a alimentação do motor cc até a estrutura de sustentação das partes do protótipo e transmissão do movimento via correias e redutores de velocidade, e demais etapas, como o desacoplamento elétrico do variac e a ligação do auto-transformador trifásico, caso se queira controlar um ou outro.

Já o capítulo 4 trata das conclusões e sugestões para trabalhos futuros.

CAPÍTULO 2

INTERFACE HOMEM-MÁQUINA

CAPÍTULO 2 - INTERFACE HOMEM-MÁQUINA

Neste capítulo é abordado a interface homem-máquina utilizada no projeto, é de imensa importância que o usuário consiga de forma rápida e eficiente fazer com que o dispositivo seja programado para a aplicação requerida e possa ser acompanhado ao longo de sua utilização.

A interface consiste na possibilidade do usuário utilizar-se de um teclado para digitar a tensão de referência requerida e um LCD (display) que apresenta em tempo real a tensão medida do regulador. Esta interface é controlada pelo microcontrolador.

Na sequência detalham-se dados sobre o teclado utilizado e a respectiva subrotina de leitura do mesmo.

2.1 - LEITURA DE UM TECLADO

Para resolver o problema do teclado, de um modo geral, basta observar o nível lógico associado a uma tecla. Caso ela esteja pressionada, teremos um determinado nível, caso esteja solta, outro. De acordo com a tecla pressionada a associamos a determinados pinos do microcontrolador e a uma tabela com os valores correspondentes a tecla pressionada.

Para se economizar pinos do microcontrolador quando o número de teclas aumenta, utiliza-se um sistema de varredura, de uma estrutura em matriz, formada por linhas e colunas, fixando uma varredura ao fixar uma linha e percorrer as colunas. Repetindo-se o procedimento para as outras linhas consegue-se isolar a tecla pressionada.

A Figura (2.1) representa o esquema de ligação de um teclado típico de 3 colunas por 4 linhas, ocupando 7 pinos do microcontrolador. No nosso projeto foi


```

#define fio2    pin_d2
#define fio3    pin_d3
#define fio4    pin_d4
#define fio5    pin_d5
#define fio6    pin_d6
#define fio7    pin_d7

```

A seguir se inicia a rotina, que é chamada a um certo intervalo de tempo para verificar se a tecla está sendo pressionada, a velocidade de varredura é tal que ao se apertar a tecla o programa sempre varre todos os pinos referentes ao teclado e determina qual está sendo pressionada.

char varre_teclas (void)

/* Realiza a varredura do teclado e retorna o valor da tecla pressionada.

O teclado está conectado da seguinte forma:

O seguinte esquema é usado para identificar os nomes referentes à tecla pressionada, ou seja, a tecla chamada fio0 se estiver em nível alto e ao ser pressionada o nível alto fique no fio7 o nome da tecla é o número 1.

```

//   FIO0  FIO1  FIO2  FIO3  FIO4  FIO5  FIO6  FIO7
// FIO0  -    -    -    -    -    3    2    1
// FIO1  -    -    -    -    F    6    5    4
// FIO2  -    -    -    -    9    8    7
// FIO3  -    -    -    -    R    #    0    *-M

```

Os valores retornados pelo programa são conforme abaixo, a tecla 0 retorna o valor 48, a tecla 1 retorna o valor 49 e assim por diante.

Os valores decimais retornados são:

```
0 48
1 49
2 50
3 51
4 52
5 53
6 54
7 55
8 56
9 57
*/
{
```

Ao colocar-se um pino em nível alto e os outros em nível baixo, a seguir se lê os 4 pinos restantes e caso um deles esteja em nível alto, conforme a tabela anterior se determina a que número ou letra corresponde a tecla pressionada. O processo se repete para cada um dos 4 pinos a que se vão colocar o nível alto.

```
int tecla;
tecla=' ';

output_high(fio0); // ativa o fio 1
output_low(fio1); // desativa o fio 2
output_low(fio2); // desativa o fio 3
output_low(fio3); // desativa o fio 4
output_low(fio4); // desativa o fio 5
output_low(fio5); // desativa o fio 6
output_low(fio6); // desativa o fio 7
output_low(fio7); // desativa o fio 8
if (input(fio4)) tecla = 'R';
if (input(fio5)) tecla = ' ';
```

```
if (input(fio6)) tecla = ' ';
if (input(fio7)) tecla = ' ';
output_low(fio0); // desativa o fio 1
output_high(fio1); // ativa o fio 2
if (input(fio4)) tecla = '*';
if (input(fio5)) tecla = '7';
if (input(fio6)) tecla = '1';
if (input(fio7)) tecla = '4';
output_low(fio1); // desativa o fio 1
output_high(fio2); // ativa o fio 2
if (input(fio4)) tecla = '0';
if (input(fio5)) tecla = '8';
if (input(fio6)) tecla = '2';
if (input(fio7)) tecla = '5';
output_low(fio2); // desativa o fio 1
output_high(fio3); // ativa o fio 2
if (input(fio4)) tecla = '#';
if (input(fio5)) tecla = '9';
if (input(fio6)) tecla = '3';
if (input(fio7)) tecla = '6';//M
return (tecla);
}
```

Na Figura 2.2 é mostrado a vista frontal do protótipo com o teclado de telefone utilizado e o LCD ao lado.

Na sequência detalham-se dados sobre o LCD utilizado e a respectiva subrotina de interface com o microcontrolador.

2.2 - O LCD

O LCD é um display que pode ser usado como interface entre o microcontrolador e o usuário.

A Figura (2.3) apresenta alguns tipos de LCD utilizados, basicamente se classificam de acordo com o número de colunas e de linhas dos mesmo,

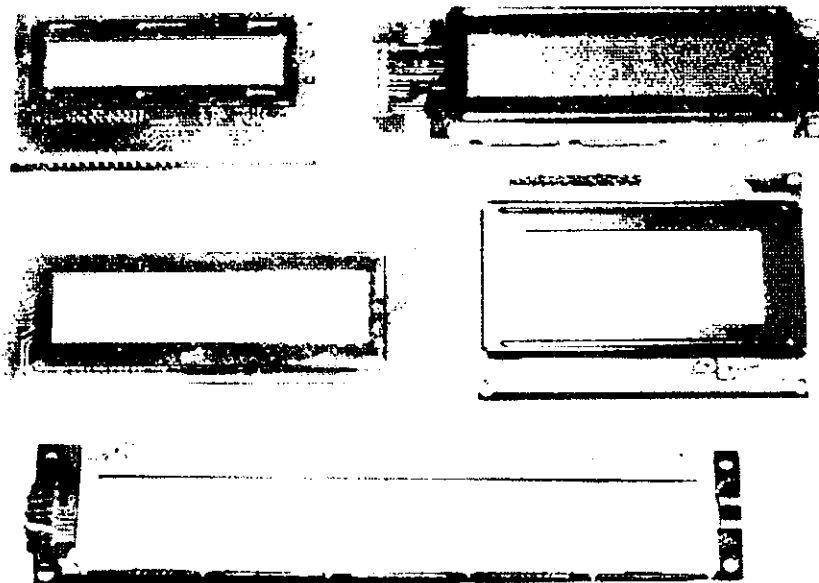


Figura 2.3 - Tipos de LCD mais utilizados.

O esquema de ligação do LCD ao microcontrolador está ilustrado na Fig. (2.4).

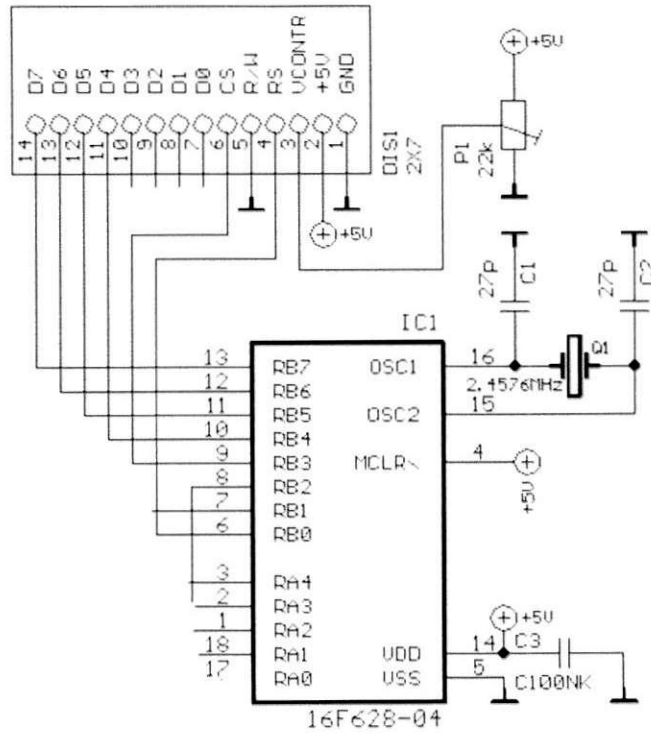


Figura 2.4 - Esquema de ligação entre o LCD e o microcontrolador.

Na Tabela (2.1) está ilustrado as respectivas funções dos pinos do LCD.

Tabela 2.1 - Configuração dos pinos do LCD

Pin No.	Name	Function
1	V _{ss}	Ground
2	V _{dd}	+ve supply
3	V _{ee}	Contrast
4	RS	Register Select
5	R/W	Read/Write
6	E	Enable
7	D0	Data bit 0
8	D1	Data bit 1
9	D2	Data bit 2
10	D3	Data bit 3
11	D4	Data bit 4
12	D5	Data bit 5
13	D6	Data bit 6
14	D7	Data bit 7

A Tabela 2.1 indica como deve ser ligado os pinos do LCD com o microcontrolador, em função desta deve-se programar o mesmo para que os determinados pinos estejam enviando sinais de controle ou dados para o LCD, tal preocupação em programar esta interface é amenizada, pois existem já prontos no compilador da CCS, ou em livros sobre programação em linguagem C de microcontroladores da família PIC.

CAPÍTULO 3

RESULTADOS EXPERIMENTAIS

CAPÍTULO 3 - RESULTADOS EXPERIMENTAIS

Neste capítulo serão mostrados as etapas da construção da parte eletrônica do protótipo para controle de tensão.

3.1 - CIRCUITO ELETRÔNICO

O circuito será apresentado em módulos, explicando suas respectivas funções, em seguida apresenta-se o circuito como um todo.

Na Figura 3.1 apresenta-se a alimentação da placa, o desenho foi feito no software PCAD, utilizado para desenhar circuitos impressos.

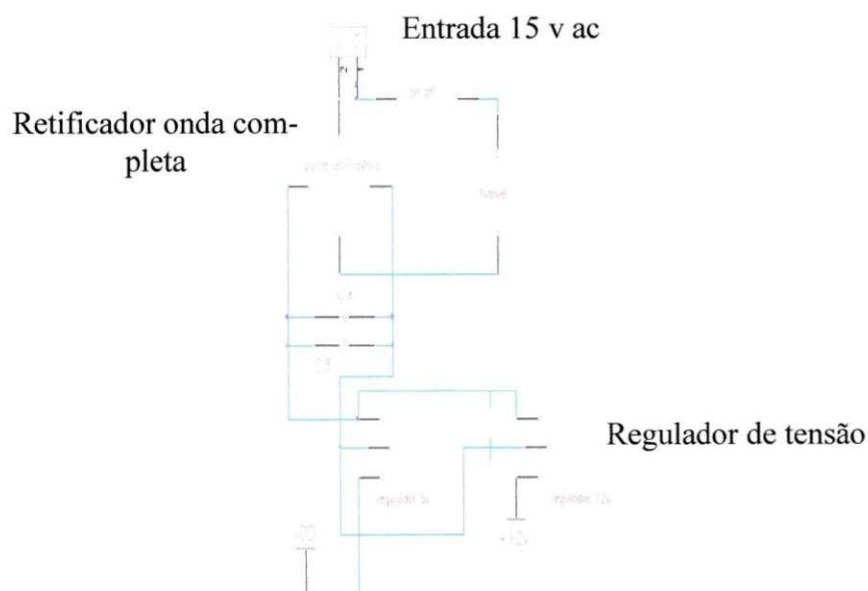


Figura 3.1 - Esquema da alimentação da placa

Observa-se que a partir dos bornes superiores, de onde se liga o secundário de um transformador de 220/15V de 5W de potência, em seguida tem-se uma ponte retificadora de onda completa, associada com capacitores de $470 \mu F$, sendo que foi ligado em série com uma das fases um fusível, e na sequência dois reguladores de tensão para 5V e 12V, sendo que a tensão de 5 v se destina à alimentação do microcontrolador e a de 12V se destina aos relés que serão usados como chaveadores para alimentação do motor CC.

Na sequência, tem-se a Fig. 3.2 que apresenta a alimentação dos relés de chaveamento. É utilizado transistores para chavear a bobina dos relés, que estão ligadas diretamente aos 12V, a base do transistor é alimentada diretamente por um dos pinos do microcontrolador, no nível de 5 v ou 0 v, nível alto ou baixo, respectivamente. os resistores utilizados são de $1 k\Omega$ e de $10 k\Omega$. O transistor é do tipo TBJ.

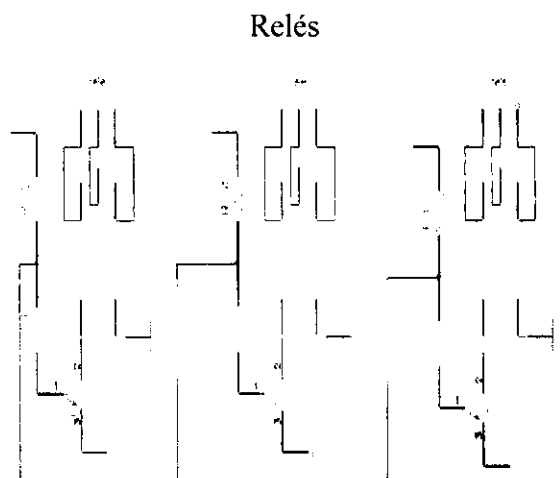


Figura 3.2 - Alimentação e controle dos relés de chaveamento do motor CC.

A Figura 3.3 ilustra o esquema do microcontrolador PIC 16F877 com suas respectivas ligações com o LCD (display), e a ligação na parte inferior com o teclado de telefone, com oito fios, observe a ligação dos resistores, para limitar corrente, ao ser pressionado uma tecla, no pino 3 do LCD é ligado um potenciômetro necessário para visualizar os caracteres do LCD, caso contrário ele fica sem apresentar os caracteres.

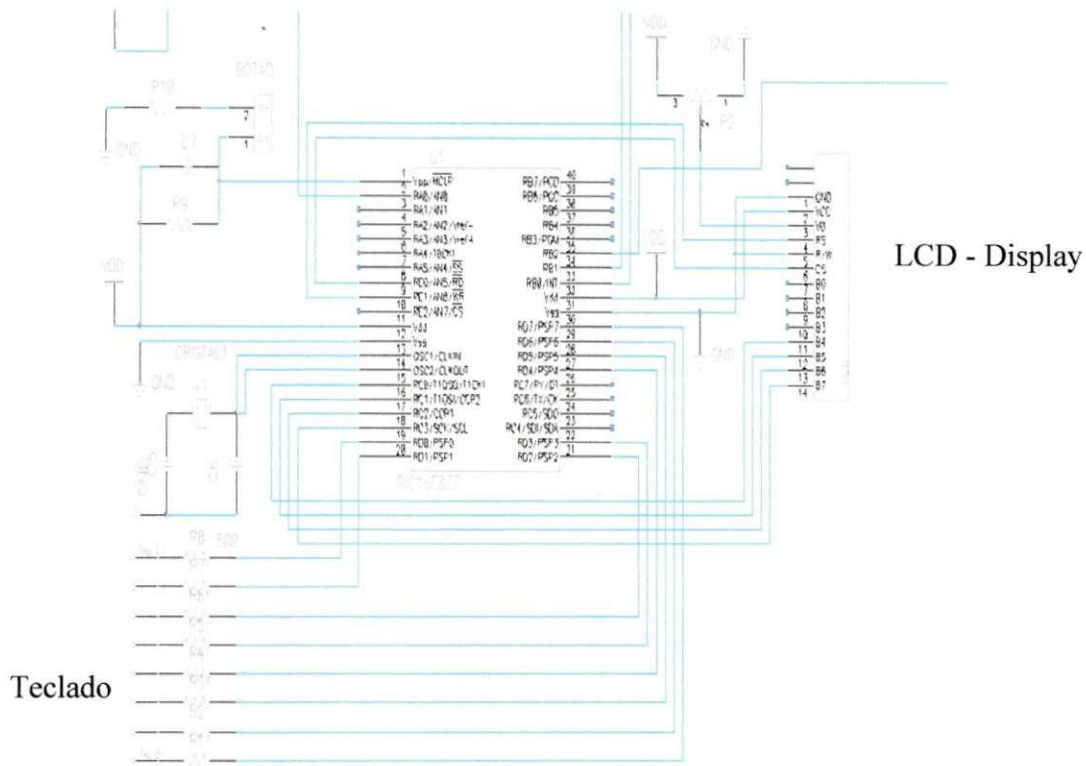


Figura 3.3 - Esquema da alimentação do microcontrolador e ligação com o teclado e LCD..

Observe na parte superior esquerda um botão de reset, utilizado aplicando 5 v de tensão em funcionamento, e 0 v para reinicializar o programa do microcontrolador.

A pinagem do microcontrolador é utilizada para ligar cada componente, o LCD, o teclado, o controle dos transistores dos relés e no pino 2 é ligado a tensão de leitura de tensão, que é rebaixada por um transformador de 350/1,5 v que é aplicada diretamente ao conversor do PIC com uma tensão de pico de aproximadamente 2 v, visto que acima desta tensão, o nível negativo da tensão AC danifica o microcontrolador. O programa do PIC se encarrega de obter a tensão de pico positiva para ser utilizada como parâmetro de controle do motor CC.

A seguir é apresentada na Fig. 3.4 o circuito completo utilizado na construção da placa.

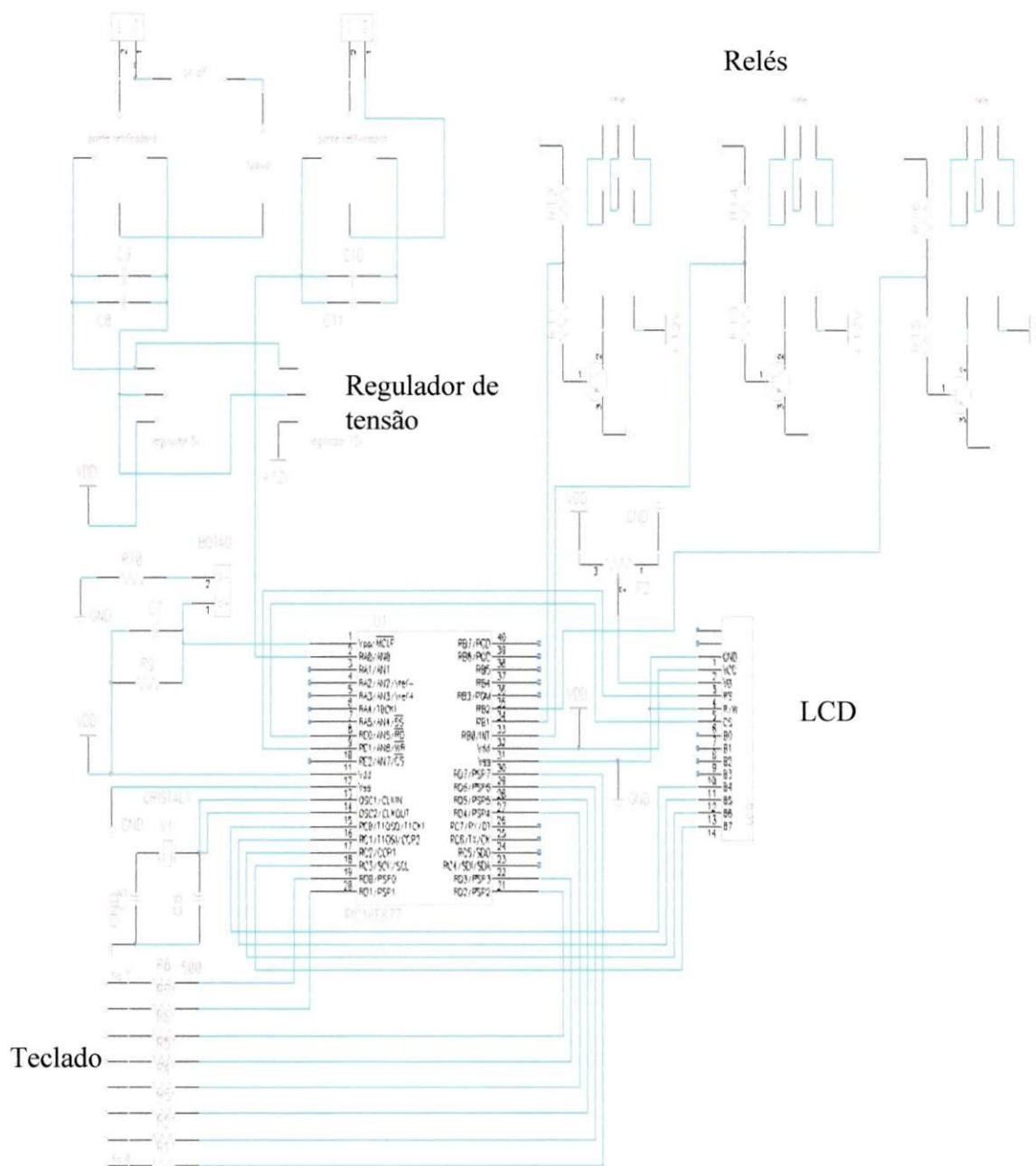


Figura 3.4 - Esquema do circuito total utilizado na confecção da placa.

3.2 - CIRCUITO IMPRESSO

A partir do circuito mostrado acima foi feito pelo PCAD o desenho para serigrafia posterior do circuito impresso, que é de dupla face, devido à grande quantidade de conexões, sem o qual teríamos curto-circuito nas trilhas, conforme mostrado na Fig.3.5, a face posterior do circuito.

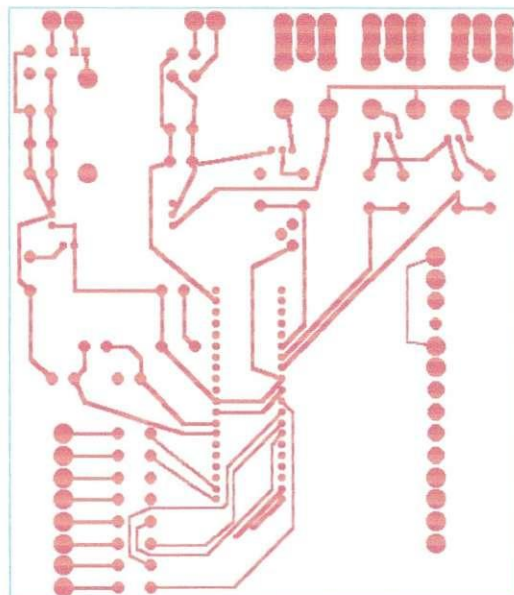


Figura 3.5 - Desenho posterior do circuito impresso.

Tanto o teclado, quanto o LCD e os demais contatos com o exterior da placa é montado em ilhas para posterior soldagem de pinos com bornes de parafuso, para serem soldados no circuito impresso e suas ligações serem feitas por fios.

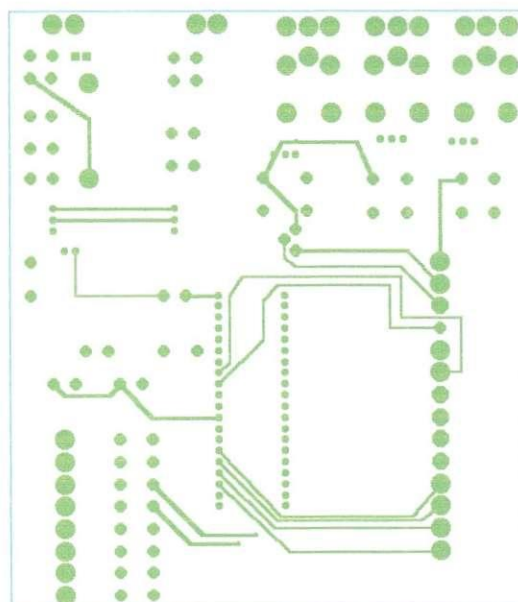


Figura 3.6 - Desenho anterior do circuito impresso.

Os fios que serão presos via parafusos, de modo a que se possa facilmente desacoplar a placa do LCD, teclado e fios de alimentação da placa, da tensão de leitura e da alimentação do motor CC, via relés. A Figura 3.6 apresenta o desenho anterior do circuito impresso.

Na Figura 3.7 está a sobreposição dos dois circuitos, anterior e posterior, apenas para fins de visualização geral do circuito.

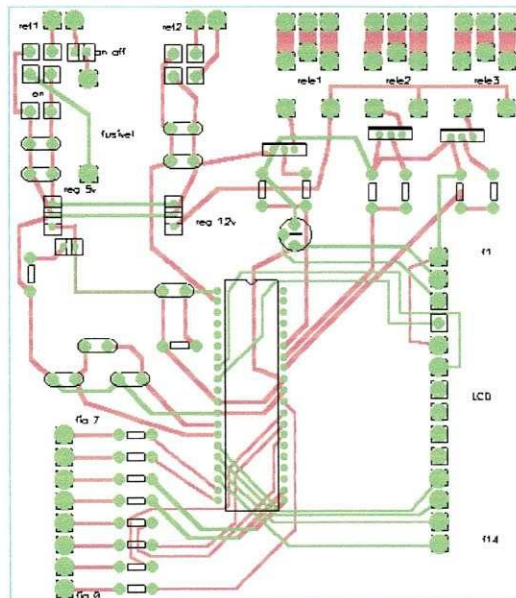


Figura 3.7 - Desenho completo, anterior e posterior do circuito impresso.

Para permitir posteriores modificações em trabalhos futuros, foi acrescentado o desenho ligando os pinos do PIC que não seriam utilizados neste circuito às ilhas para soldagem de bornes de ligação com parafusos, para eventuais usos. A Figura 3.8 é da face posterior do circuito modificado.

Na Figura 3.9 é apresentado a face anterior da mesma placa, a única diferença é o acréscimo de trilhas para os pinos que anteriormente não estavam desenhados, pois não seriam utilizados no circuito ao qual se destinam.

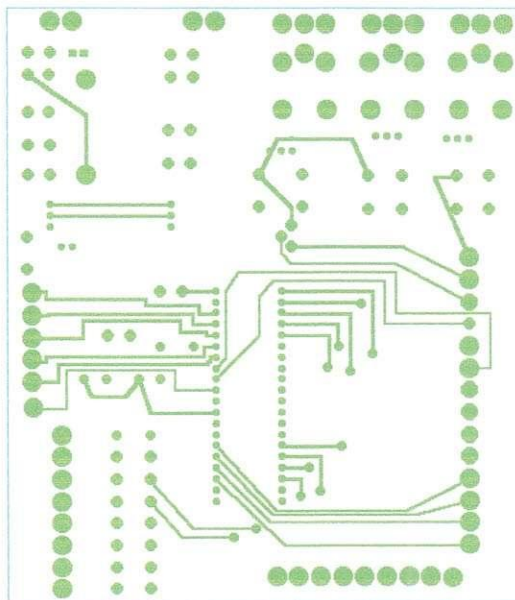


Figura 3.8 - Face posterior da placa modificada.

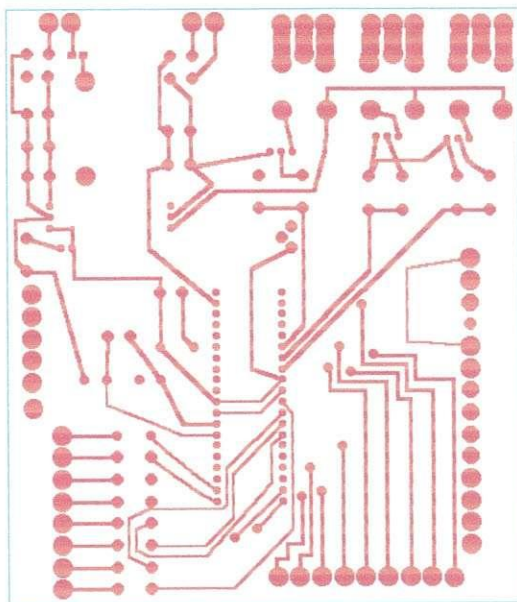


Figura 3.9 - Face posterior da placa modificada.

A Figura 3.10 ilustra o esquema do conjunto, face posterior e anterior da placa, só para fins de visualização geral do circuito.

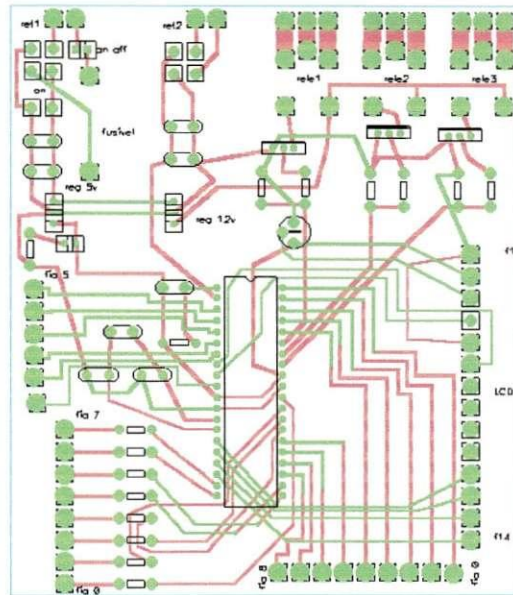


Figura 3.10 - Faces anterior e posterior justapostas da placa modificada.

3.3 - SERIGRAFIA DO CIRCUITO IMPRESSO.

Com base nos desenhos feitos através do software PCAD, foi construída via serigrafia, a tela serigráfica com o desenho das duas faces para ser gravado na placa de cobre, dupla face, e posterior corrosão em ácido, sendo que é utilizado uma tinta serigráfica que é passada com o auxílio de um rodo para em seguida, a tela ser limpa com solvente e a placa de cobre virada para que a outra face seja pintada com o mesmo procedimento

A Figura 3.11 apresenta a tela serigráfica juntamente com o rodo utilizados para imprimir na placa de cobre.

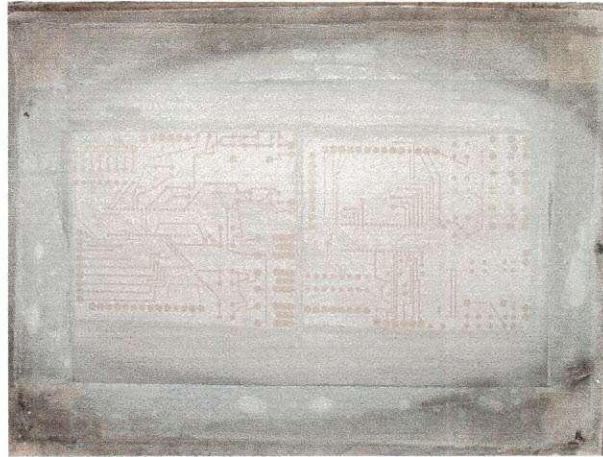


Figura 3.11 - Tela serigráfica utilizada para imprimir na placa de cobre.

A figura 3.12 mostra a placa após serem soldados os componentes, observe que nesta face apresentada estão o microcontrolador, os relés os bornes para ligação do teclado e da fonte de tensão da placa, além do borne para ligação da tensão à ser lida pelo PIC.



Figura 3.12 - Placa de circuito impresso, face anterior, com os componentes soldados.

A Figura 3.13 mostra a face posterior da placa com os respectivos bornes para ligação do LCD (display gráfico).

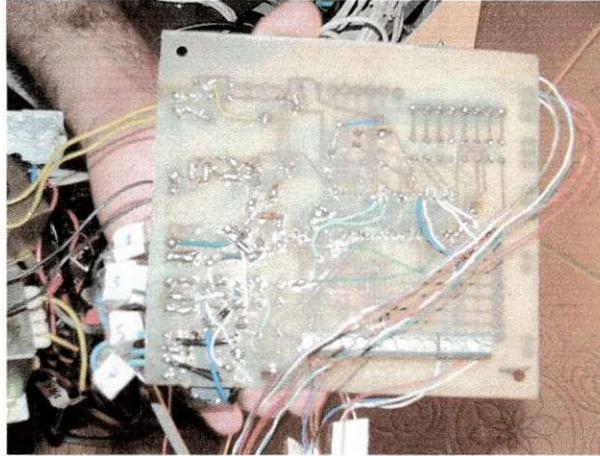


Figura 3.13 - Placa de circuito impresso, face posterior, com os componentes soldados.

A seguir serão mostrados as etapas da construção do protótipo para controle de tensão.

3.4 - CONSTRUÇÃO DA FONTE PARA O MOTOR CC

Inicialmente é apresentado o esquema elétrico para ligação do motor CC, sendo que a bobina que representa o campo do estator, na realidade será um ímã permanente. O motor é de limpador de para-brisa de automóvel.

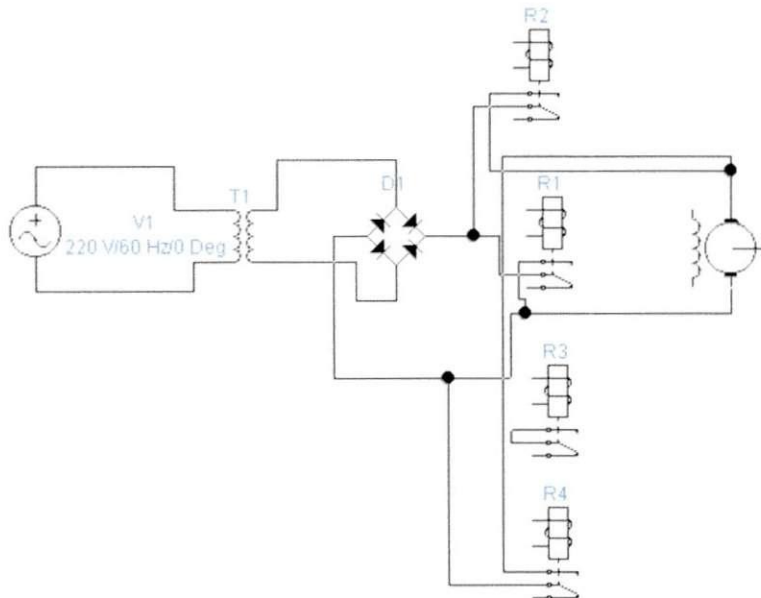


Figura 3.14 - Esquema elétrico da alimentação do motor CC, utilizado para mover os contatos elétricos do Transformador.

Tem-se quatro relés, que ora ligam o motor numa polaridade, ora invertem, conforme se deseje o sentido horário ou anti-horário, sendo que o controle dos relés é feito, vide capítulo anterior, através do microcontrolador, que em função da tensão medida, ele envia nível alto (5 v) ou baixo (0 v) para a base de um transistor que alimenta a bobina dos relés.

Deve-se ligar um diodo em anti-paralelo com as bobinas do relé, visto que ao serem acionados, ocorre uma sobretensão que polariza diretamente o diodo, de modo a limitar em 0,7 v a tensão na bobina, de outro modo tal sobretensão é suficiente para "resetar" o microcontrolador e a ação de controle fica paralisada.

A potência de um motor cc como o utilizado é da ordem de 60 W, sendo de 12 v DC sua alimentação, o motor é mostrado na Fig. 3.15.

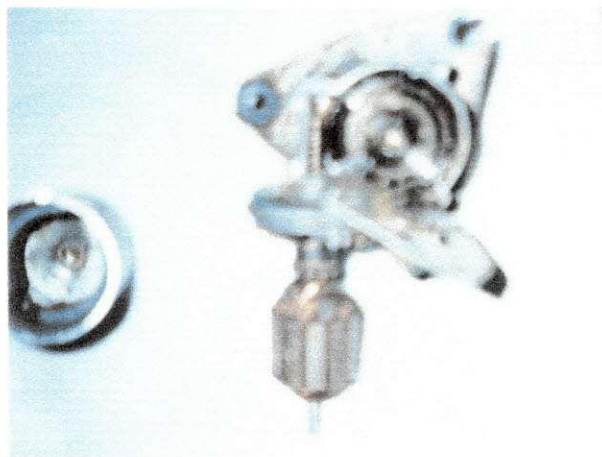


Figura 3.15 - Motor cc utilizado no protótipo.

Observe o rotor (cobreado) tipo gaiola de esquilo, o campo de ímã permanente à esquerda, sendo que o ímã é o contorno interno (preto), onde se encaixa o rotor.

O transformador deve ser do mesmo porte, o cálculo da área do seu núcleo do transformador é dado por:

$$A = k \sqrt{\frac{pot}{f}} \quad \text{Eq. 3.1}$$

onde

A - área da seção transversal do núcleo do transformador

k - constante que pode variar entre 7 e 9

pot - é a potência do transformador em W

f - é a frequência de trabalho, no caso 60 Hz

Vale salientar que está foi a única formulação que se encaixou com os dados reais, ou seja, com as dimensões dos transformadores comerciais para uma dada potência normalmente obtidos no comércio, visto que pela lei de Ampere.

$$\oint H dL = N I \quad \text{Eq. 3.2}$$

onde

H é o vetor campo magnético, tomado como uma constante ao longo do percurso do núcleo.

dL é o elemento diferencial ao longo do percurso (perímetro) do núcleo, no enlace das bobinas do transformador.

N é o número de espiras da bobina do transformador.

e pela lei de Faraday

$$V = N \frac{\partial \phi}{\partial t} \quad \text{Eq. 3.3}$$

onde

V é a tensão na bobina do transformador.

t é o tempo.

ϕ é o fluxo magnético

O fluxo magnético é dado pela densidade de fluxo magnético B, vezes a área da seção do núcleo do transformador, e é lido diretamente de tabelas comerciais, para o

Fe-Si, por exemplo, no o eixo das abscissas se entra com o valor dos Amperes-espiras e lê-se no eixo vertical o valor de B em Tesla.

O erro entre as fórmulas empíricas e a calculada girou em torno de 1000 %, ou seja, provavelmente, os valores das tabelas, que diferem entre si, de livro para livro, da ordem de 400% ou mais, para um mesmo valor de Ampere-espira, ainda tem a possibilidade de não representarem o material utilizado na construção do núcleo do transformador, que além de ser de material com impurezas, já apresenta corrosão, e fator de empilhamento das lâminas, que vão se acumulando erros, deveria-se levantar a curva de histerese do próprio material para poder com confiabilidade utilizar então as leis de Ampere e Faraday no projeto, entretanto, a lei empírica mostrou-se suficiente.

Os diodos utilizados na construção da ponte de onda completa são para 10 A, podem ser adquiridos de fontes para alternadores de automóveis, e deve-se ter o cuidado de colocá-los em dissipadores de alumínio, apesar de não serem exaustivamente utilizados, e o nível de calor gerado ser pequeno, uma vez que a tensão desejada é obtida o motor pára, só oscilando conforme a oscilação da tensão da rede.

A Figura 3.16 mostra a caixa onde se inserirá o protótipo, sendo que o transformador da fonte do motor cc está ao fundo (lado direito) em marrom, e a ponte onda completa está no lado superior esquerdo, abaixo no centro (esquerdo) está uma lâmpada para iluminar o interior do protótipo.

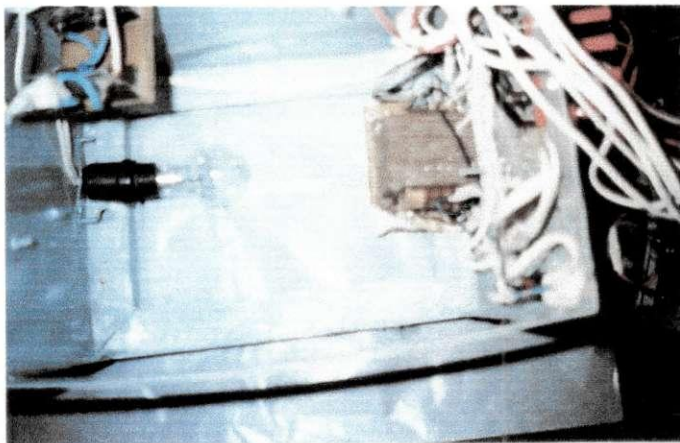


Figura 3.16 - Caixa do protótipo com o transformador e ponte onda completa para o motor cc.

3.5 - CONSTRUÇÃO DA TRANSMISSÃO MECÂNICA ENTRE O MOTOR CC E O VARIAC

A Figura 3.17 mostra a estrutura que fixa o motor cc (na parte inferior) e o variac (autotransformador variável de 100 W, na parte superior da figura), observe a necessidade de tal estrutura, que será posteriormente encaixada na caixa principal, para que a transmissão por correia não seja prejudicado com vibrações mecânicas e folgas na correia.

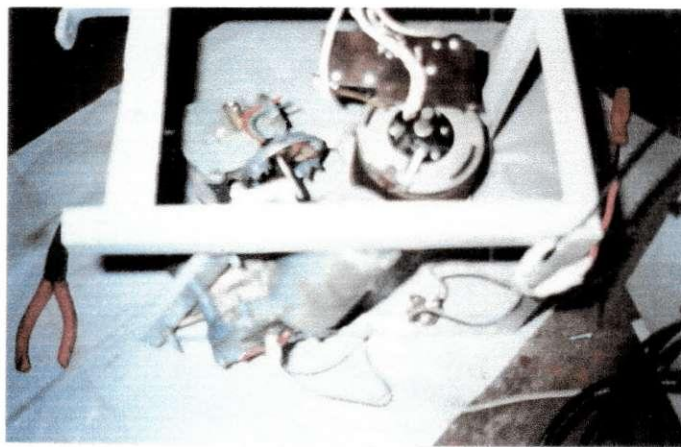


Figura 3.17 - Estrutura com Variac (em cima) e motor cc (embaixo da figura) para transmissão por correia.

Como pode ser visto na Fig. 3.17 sobre o variac (parte superior da figura) está uma estrutura onde se colocou dois fins de curso mecânicos, de modo que se o circuito eletrônico falhar, ao acionar mecanicamente o fim de curso em um sentido ou noutro, a alimentação do motor cc é cortada. É necessário que o microcontrolador seja "reseta-do" e digitado uma tensão inferior aos 220 v ou superior a 0 v para que volte a funcionar.

Os fins de curso foram divididos em, fim de curso de 0 v e fim de curso de 220V de modo que foram ligados em série a partir do relé de alimentação, até o motor cc, ao ser acionado (aberto) a alimentação relativa ao sentido horário (ou anti-horário) é cortada, mas a outra anti-horária (ou horário) permanece esperando apenas o controle do pic sobre os dois relés respectivos para funcionar normalmente, desativando assim o fim de curso e fechando novamente o circuito de alimentação do motor cc.

Na Figura 3.18 está mostrada a estrutura com variac e motor cc (acima da figura) e caixa do protótipo (abaixo).

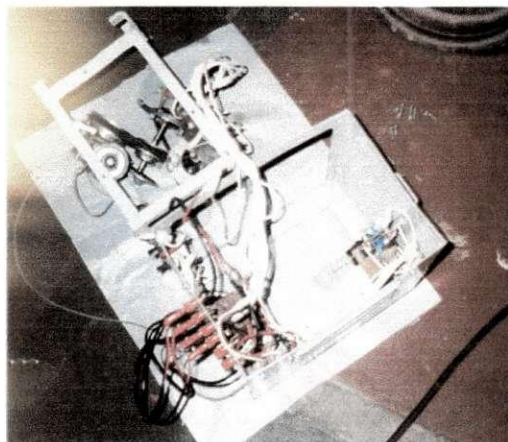


Figura 3.18 - Estrutura com variac e motor cc (parte superior) e caixa do protótipo (abaixo)

A Figura 3.19 mostra o detalhe do acoplamento por correia entre o motor cc, os redutores de velocidade e o variac. Observa-se a necessidade de dois redutores de velocidade de 1/50 em série, de modo que a variação de tensão do variac seja bem lenta, da ordem de 2,5 rpm,

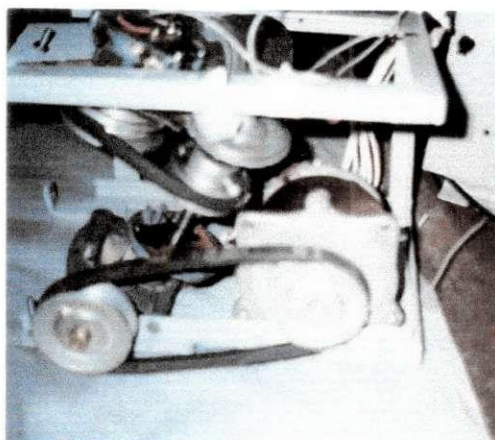


Figura 3.19 - Detalhe da transmissão por correia entre o variac e o redutor de velocidade do motor cc.

A Figura 3.20 mostra, em outra perspectiva, a transmissão por correia do motor cc, redutores de velocidade e variac

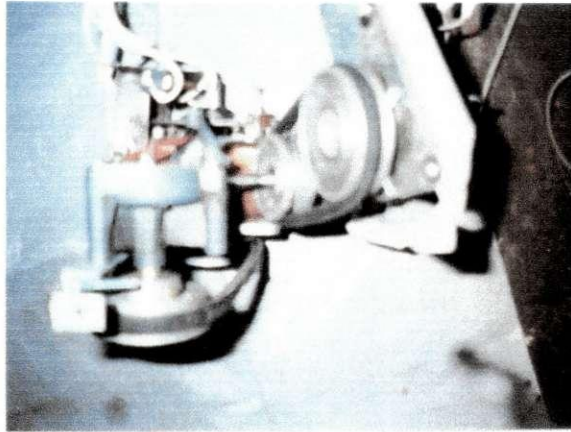


Figura 3.20- Detalhe da transmissão por correia entre o variac e o redutor de velocidade do motor cc (outra vista).

A Figura 3.21 mostra a vista superior do protótipo, já com a estrutura de transmissão de movimento dentro da caixa do protótipo, observe as conexões em vermelho e preto, tipo encaixe (lado direito, externo à caixa).

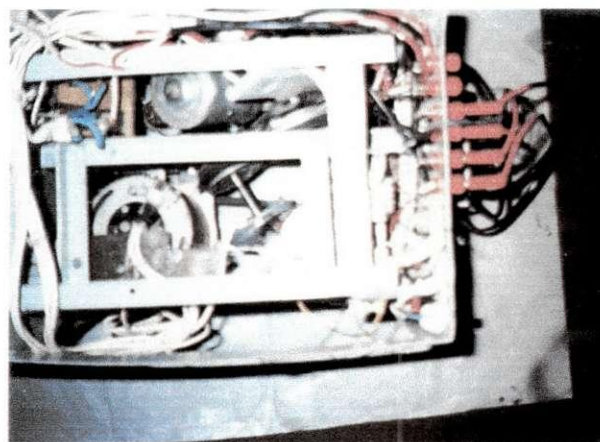


Figura 3.21 - Detalhe da transmissão por correia entre o variac e o redutor de velocidade do motor cc (outra vista).

Os fins de curso servem para desacoplar a alimentação do motor cc, a tensão a ser lida do variac, os fins de curso de 0 v e 220 v do variac, podendo-se então ligar os respectivos fios de outra estrutura a se controlada com os mesmos parâmetros, alimentação do motor cc a partir do protótipo, ligar fins de curso externos de outra estrutura a ser controlada, bem como ler a tensão a partir de outra fonte.

A Figura 3.22 mostra o protótipo, já com a estrutura de transmissão de movimento dentro da caixa do protótipo, observe as conexões em ver

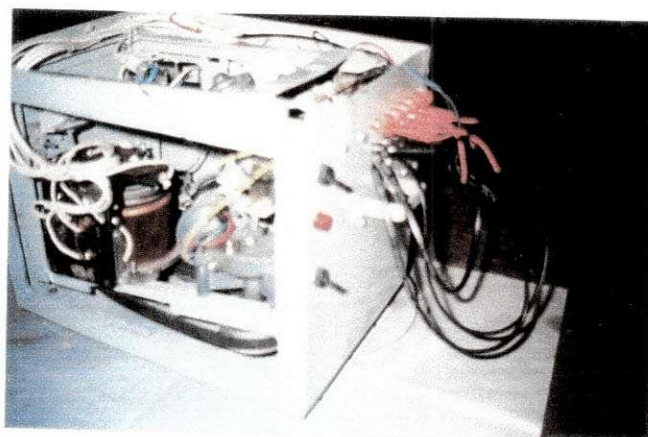


Figura 3.22- Detalhe do protótipo (vista lateral)

A Figura 3.23 mostra a vista em perspectiva do protótipo.

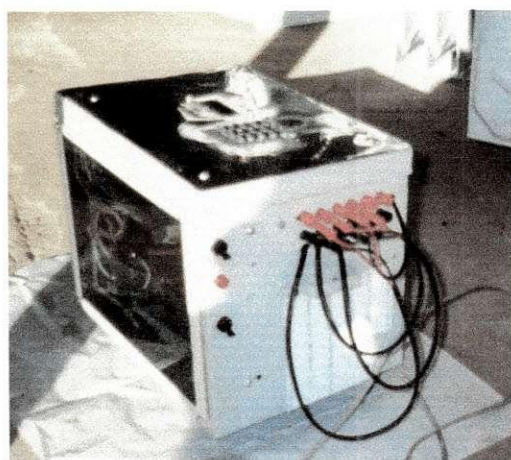


Figura 3.23 - Vista em perspectiva do protótipo.

A Figura 3.24 mostra a vista em superior interna do protótipo, observe no canto inferior direito o variac, com os fins de curso colocados sobre e à direita dele., uma lâmpada no centro inferior, e a transmissão por correia ao centro em ângulo entre o redutor próprio do motor cc e outro redutor da mesma ordem que transmitirá o movimento também por correia ao variac.

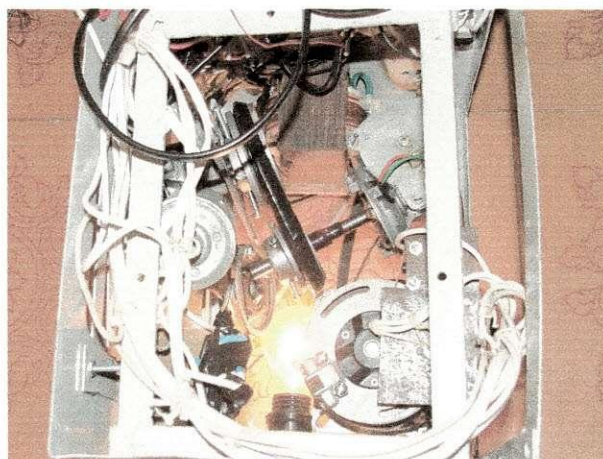


Figura 3.24- Vista superior do protótipo sem a tampa.

A Figura 3.25 mostra a vista frontal do protótipo, sem a tampa de vidro, que detalha no canto inferior esquerdo a parte da frente do variac, de onde é alimentado e de onde se tomam suas tensões, e a transmissão por correia ao fundo entre o segundo redutor de velocidade e ele.



Figura 3.25 - Vista frontal do protótipo sem a tampa de vidro.

A sessão seguinte aborda as etapas da construção do acoplamento entre o protótipo e o auto-transformador trifásico.

3.6 - CONSTRUÇÃO DA TRANSMISSÃO MECÂNICA PARA O AUTO-TRANSFORMADOR

Nesta etapa foi construído a transmissão mecânica entre o motor cc, seu próprio redutor de velocidade e um parafuso rosca sem fim, como o segundo redutor de velocidade que movimenta os contatos móveis de roldanas de carvão que ao se deslocarem verticalmente variam a tensão conforme a tensão colocada sobre a coluna do auto-transformador, conforme ilustrado na Fig. 3.26.

Pode ser visto o motor cc no canto superior esquerdo, a alimentação deste é tomada a partir do protótipo, através de contatos elétricos de encaixe no mesmo, além disto, existem dois fins de curso mecânicos um em cima da coluna e outro abaixo, de modo que se os contatos lhe toquem, acionando-os eles cortam a alimentação do motor naquele sentido (horário ou anti-horário) e o microcontrolador, no protótipo terá de ser regulado para uma tensão ou no sentido de diminuí-la ou aumentá-la.

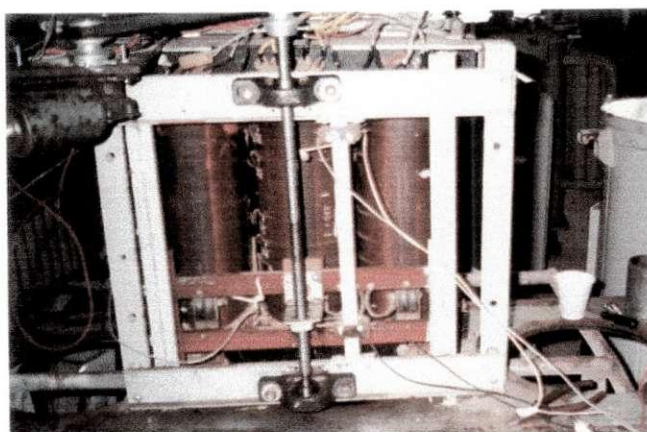


Figura 3.26 - Vista frontal do auto-transformador trifásico e sua transmissão mecânica.

Observe na Figura 3.27 a vista lateral do protótipo, de onde se conectam através dos encaixes ao auto-transformador, para controlá-lo, ou aos contatos internos do próprio protótipo, para controlar o variac interno.

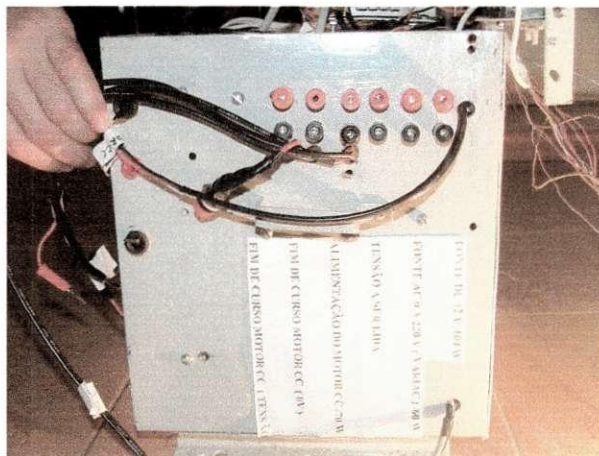


Figura 3.27 - Vista lateral do protótipo com esquema de ligação elétrico variac ou auto-transformador trifásico.

Ainda na mesma figura, da esquerda para a direita contando os encaixes, vermelhos e preto temos.

1- ligação do fim de curso referente à posição da bobina, ou variac de onde se obtém a mais alta tensão.

2 - ligação do fim de curso referente à posição da bobina, ou variac de onde se obtém a mais baixa tensão.

3 - ligação da alimentação do motor CC a ser controlado, ligação direta à ele.

4 - ligação da tensão à qual se quer controlar, no caso referente a um neutro e a fase de tensão variável.

5 - Uma tomada de tensão interna do protótipo para alimentar uma carga externa com tensão ac, se necessário, onde a potência máxima do variac é em torno de 100W em condições normais de uso.

6 - Uma tomada de tensão interna do protótipo para alimentar uma carga externa com tensão dc, se necessário, onde a potência máxima é em torno de 100W em condições normais de uso e 12V

A Figura 3.28 mostra o protótipo ao lado do auto-transformador trifásico de 10 kVa, o qual irá controlar, observe que apenas se trocaram as ligações dos fios do próprio protótipo pelos do auto-transformador.

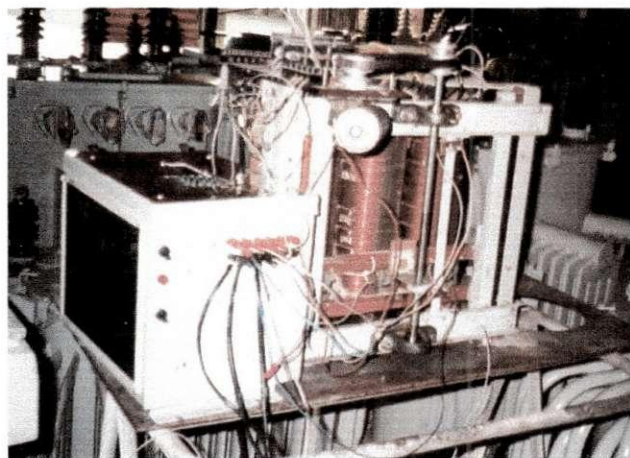


Figura 3.28 - Vista frontal do auto-transformador trifásico e sua transmissão mecânica.

A Figura 3.29 mostra outra vista do protótipo.

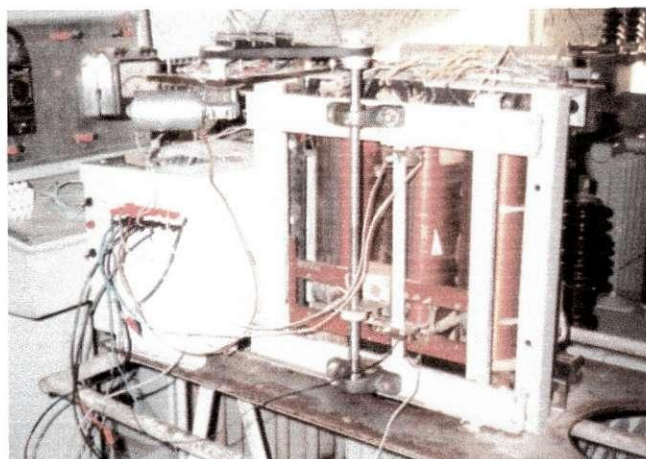


Figura 3.29 - Nova vista do auto-transformador.

A Figura 3.30 mostra uma vista frontal do mesmo.

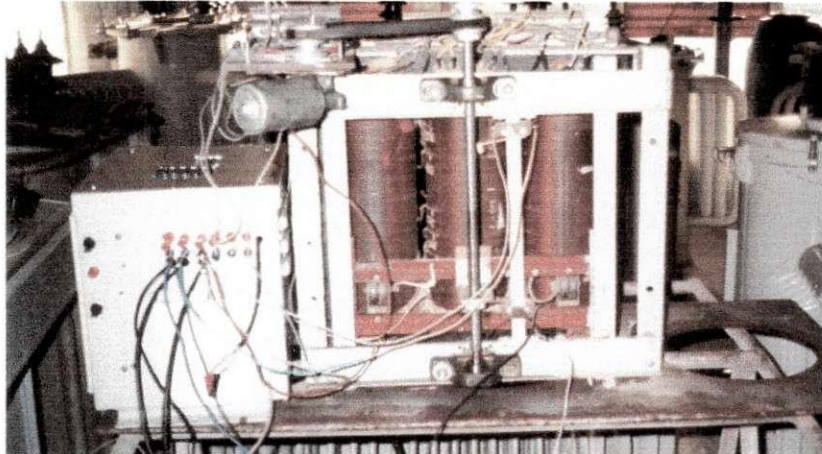


Figura 3.30 - Vista frontal do auto-transformador.

3.7 - DISCUSSÕES

O microcontrolador PIC 16F877 mostrou-se de boa performance e confiabilidade, desde que suas ligações elétricas estejam adequadas, sem variação de tensão em sua alimentação. Observou-se que mesmo com a aplicação de alimentação independente da placa com o pic e os relés, estes ao serem acionados geravam oscilação de tensão suficiente para resetar o pic, tal variação era transportada via base do transistor e pino do pic que lhe enviava o comando, tal distúrbio de tensão foi sanado com a colocação de diodos em anti-paralelo com a bobina dos relés, que lhe limitam o pico de tensão ao entrarem em condução, tal diagnóstico foi notado pelo professor do DEM UFCG, Pedro Ronaldo que culminou na solução do problema.

A questão de controlar a velocidade do motor não foi relevante, logo o projeto de tal controle não foi levado adiante, visto que o motor cc apresentava velocidade de 4000 rpm, em regime, sem carga, externa, e a redução de velocidade no variac a levou para em torno de 2 rpm, de modo que rapidamente se estabelece o regime de velocidade permanente. Um projeto em que não se utilize tal redução brusca com redutores de velocidade daria uma resposta mais rápida e aí sim se necessitaria controlar a velocidade do motor, provavelmente com um controlador PI em sistema em malha fechada, mas visto que o sistema limitante foi o tamanho das bobinas do transformador de 10 kva, teve de se utilizar um parafuso rosca-sem-fim e o protótipo foi pensado a partir de tal limitação.

A leitura de tensão pelo conversor A/D do PIC foi bastante precisa, mostrando a mesma medição que um voltímetro comercial, entretanto teve-se que rebaixar a tensão medida diretamente para a tensão de 1,5V ac, que ligada diretamente ao pino de leitura apresenta a tensão mínima de pico -2,1V, a partir da qual o PIC pode queimar, inicialmente foi utilizado um retificador tipo onda completa na entrada do pino de leitura, entretanto, por ter-se que polarizar o mesmo, havia uma tensão em torno de 1,4V dc, a partir da qual o pic começava a receber valores de tensão, de modo que só conseguiria medir valores de tensão no primário de seu transformador de medição rebaixador entre a tensão à ser lida e o pic da ordem de 70V, valores abaixo do qual não seriam lido, este problema foi sanado com a ligação direta de uma onda senoidal pura no pino de leitura.

A fabricação da placa de circuito impresso que abarcou a eletrônica do protótipo foi tipo dupla face, entretanto, não havia tecnologia disponível para furos metalizados, de modo que para sanar o problema de soldagem dos componentes foi utilizado ligações de fios que deixaram a placa de má apresentação, em um protótipo posterior recomendava-se que a placa seja feita com furo metalizado, inclusive por ser mais fácil a soldagem dos componentes.

A ligação dos relés via transistores, controlados pelo PIC apresentou-se confiável, e o relé comercial suportou bem a corrente de 5A necessária para o motor cc. Em projetos posteriores pode-se ver a utilização de foto-acopladores.

O produto tanto busca a tensão desejada quanto por ser um controle em tempo real funciona como um estabilizador da tensão solicitada com um erro em torno de 3 %, visto que está foi a oscilação da tensão da rede observada. Outra forma de regular os limites de atuação do regulador é estimar um módulo de erro entre a tensão desejada e a medida, por exemplo 2V, dentro deste erro o sistema fica sem atuar, para isso basta reprogramar o microcontrolador.

CAPÍTULO 4

CONCLUSÃO E SUGESTÕES

CAPÍTULO 4 - CONCLUSÃO E SUGESTÕES

Este trabalho contribui na área de distribuição de energia elétrica podendo fazer com que as empresas de distribuição e universidades obtenham seus próprios equipamentos para ensaios de transformadores de forma automatizada.

O produto deste trabalho tanto serve para controlar a tensão de um auto-transformador de 10 kva, variando sua amplitude, mantendo a senóide pura, bem como o controle de tensão de um variac de 150 VA, além de fornecer uma fonte dc de 12v /100 W. Tal produto está sendo utilizado na empresa Transformadores Campinense para ensaio de transformadores de distribuição, através de ensaios de curto-circuito e circuito aberto, para obtenção de laudos técnicos com as características como impedância e perdas do transformador, que é um requisito das concessionárias para instalação de transformadores novos ou remanufaturados.

A solução para variar tensão elétrica senoidal para os ensaios através do produto mostrou-se satisfatória, uma vez que não houve utilização de eletrônica de potência que gerariam harmônicos quando do uso de tiristores, por exemplo, de modo que o produto contempla a utilização conforme as normas da ABNT de ensaio de transformadores, de manter a tensão senoidal para ensaio sem distorções (o máximo possível).

No futuro deve-se construir um gabinete todo automatizado, de modo que o laudo técnico já saia impresso após a realização dos experimentos, com os cálculos provenientes dos dados colhidos dos ensaios já calculados por um software em seguida à obtenção dos dados colhidos, agilizando a obtenção dos laudos.

5.0 - Bibliografia

- 1 - Souza, David José, "Desbravando o PIC 16F628", 6ª ed. Editora Érica, São Paulo, 2003.
- 2 - Pereira, Fábio, "Microcontroladores PIC programação em C", 1ª ed. Editora Érica, São Paulo, 2003.
- 3 - Souza, David José, Lavínia, Nicolas Cesar, "PIC 16F877A Conectando o PIC recursos avançados", 1ª ed. Editora Érica, São Paulo, 2003.
- 4 - Sedra, Adel, S., Smith, Kenneth C., "Microeletrônica", Vol 1, 1ª ed., Editora Makron Books, São Paulo, 1995.
- 5 - Halliday, Resnick, "Física, eletricidade, magnetismo e óptica", Vol II, 1ª ed., Editora Livro Técnico S.A., São Paulo, 1970.
- 6 - Glover, J. Duncan, Sarma, Malukutla S. Sarma, "Power System, Analysis and Design", Edit. Brooks Cole, 2002.
- 7 - Araújo, Tomás Victor Gonçalves Pereira, "Relatório de estágio supervisionado", DEE-UFCG, 2003.
- 8 - Montero, Luís Reyes Rosales, "Monitoração e controle em tempo real baseados em microcomputador para um microgerador síncrono e motor CC", Tese de doutorado, DEE, UFCG, 1995.

ANEXO I
O MICROCONTROLADOR PIC
16F877

ANEXO I - O MICROCONTROLADOR PIC 16F877

O microcontrolador PIC-16F877 apresenta características que o capacita a ser escolhido em uma série de aplicações práticas, dentre elas:

- 33 portas configuráveis como entrada ou saída;
- 15 interrupções disponíveis;
- Memória de programação E²PROM FLASH, que permite a gravação rápida do programa diversas vezes no mesmo chip, sem a necessidade de apagá-lo por meio de luz ultravioleta como acontece nos microcontroladores de janela;
- Memória de programa com 8kwords, com capacidade de escrita e leitura pelo próprio código interno;
- Memória E²PROM (não-volátil) interna com 256 bytes;
- Memória RAM com 368 bytes;
- Três timers (2x8 bits e 1x16 bits);
- Comunicações seriais:SPI, I²C e USART;
- Conversores analógicos de 10 bits (8x) e comparadores analógicos (2x);
- Dois módulos CCP: Capture, Compare e PWM;
- Programação in-circuit (alta e baixa tensão);
- Power-on Reset (POR) interno;
- Brown-out Reset (BOR) interno;

A Figura (1.1) apresenta o diagrama com a pinagem do PIC-16F877.

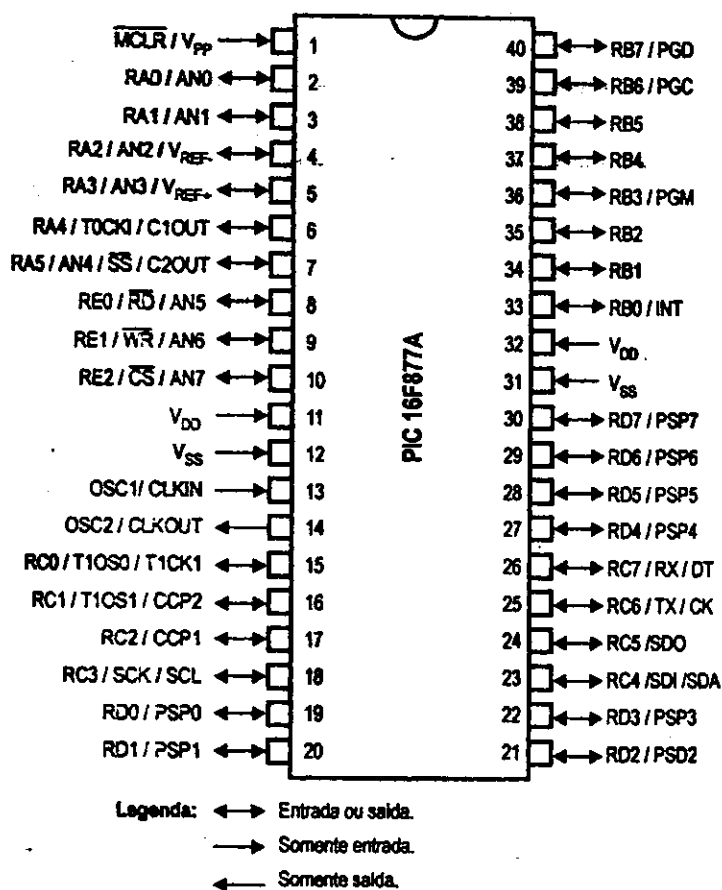


Figura 1.1 - Diagrama com a pinagem do PIC 16F877

A nomenclatura dos pinos mostrados na Fig. (1.1) é apresentado na Tabela (1.1).

Tabela 1.1 - Nomenclatura dos pinos do PIC 16F877

Nome do Pino	Núm. Pino	VO/P	Tipo	Descrição
OSC1 / CLKIN	13	I	ST/ CMOS ⁽⁴⁾	Entrada para cristal. Entrada para osciladores externos (híbridos ou RC).
OSC2 / CLKOUT	14	O	-	Saída para cristal. Os cristais ou ressonadores devem ser ligados aos pinos OSC1 e OSC2. Saída com onda quadrada em 1/4 da frequência imposta em OSC1 quando em modo RC. Essa frequência equivale aos ciclos de máquina internos.

Nome do Pino	Núm. Pino	I/O/P	Tipo	Descrição
MCLR / Vpp	1	I/P	ST	Master Clear (<i>reset</i>) externo. O microcontrolador só funciona quando este pino encontra-se em nível alto. Entrada para tensão de programação (13V).
V _{SS}	12/31	P	-	GND.
V _{DD}	11/32	P	-	Alimentação positiva.
RA0 / AN0	2	I/O	TTL	PORTA (I/Os digitais bidirecionais e sistema analógico): RA0: I/O digital ou entrada analógica AN0. RA1: I/O digital ou entrada analógica AN1. RA2: I/O digital ou entrada analógica AN2 ou tensão negativa de referência analógica. RA3: I/O digital ou entrada analógica AN3 ou tensão positiva de referência analógica. RA4: I/O digital (quando saída é <i>open drain</i> , isto é, não consegue impor nível alto) ou entrada externa do contador TMR0 ou saída do comparador 1. RA5: I/O digital ou entrada analógica AN4 ou habilitação externa (<i>slave select</i>) para comunicação SPI ou saída do comparador 2.
RA1 / AN1	3	I/O	TTL	
RA2 / AN2 / V _{REF-} / CV _{REF}	4	I/O	TTL	
RA3 / AN3 / V _{REF+}	5	I/O	TTL	
RA4 / TOCKI / C1OUT	6	I/O	ST	
RA5 / SS / AN4 / C2OUT	7	I/O	TTL	
RB0 / INT	33	I/O	TTL/ST ⁽¹⁾	
RB1	34	I/O	TTL	
RB2	35	I/O	TTL	
RB3 / PGM	36		TTL	
RB4	37		TTL	
RB5	38		TTL	
RB6 / PGC	39		TTL/ST ⁽²⁾	
RB7 / PGD	40	I/O	TTL/ST ⁽²⁾	
RC0 / T1OSO / T1CKI	15	I/O	ST	PORTC (I/Os digitais bidirecionais): RC0: I/O digital ou saída do oscilador externo para TMR1 ou entrada de incremento para TMR1. RC1: I/O digital ou entrada do oscilador externo para TMR1 ou entrada do Capture2 ou saídas para Compare2/PWM2. RC2: I/O digital ou entrada do Capture1 ou saídas para Compare1/PWM1. RC3: I/O digital ou entrada/saída de clock para comunicação serial SPI / I ² C. RC4: I/O digital ou entrada de dados para SPI ou via de dados (entrada/saída) para I ² C.
RC1 / T1OSI / CCP2	16	I/O	ST	
RC2 / CCP1	17	I/O	ST	
RC3 / SCK / SCL	18	I/O	ST	
RC4 / SDI / SDA	23	I/O	ST	

Nome do Pino	Núm. Pino	I/O/P	Tipo	Descrição
RC5 / SDO	24	I/O	ST	RC5: I/O digital ou saída de dados para SPI.
RC6 / TX / CK	25	I/O	ST	RC6: I/O digital ou TX (transmissão) para comunicação USART assíncrona ou <i>clock</i> para comunicação síncrona.
RC7 / RX / DT	26	I/O	ST	RC7: I/O digital ou RX (recepção) para comunicação USART assíncrona ou <i>data</i> para comunicação síncrona.
				PORTD (I/Os digitais bidirecionais) ou porta de comunicação paralela:
RD0 / PSP0	19	I/O	TTL/ST ⁽¹⁾	RD0: I/O digital ou dado 0 (comunicação paralela).
RD1 / PSP1	20	I/O	TTL/ST ⁽²⁾	RD1: I/O digital ou dado 1 (comunicação paralela).
RD2 / PSP2	21	I/O	TTL/ST ⁽³⁾	RD2: I/O digital ou dado 2 (comunicação paralela).
RD3 / PSP3	22	I/O	TTL/ST ⁽³⁾	RD3: I/O digital ou dado 3 (comunicação paralela).
RD4 / PSP4	27	I/O	TTL/ST ⁽³⁾	RD4: I/O digital ou dado 4 (comunicação paralela).
RD5 / PSP5	28	I/O	TTL/ST ⁽³⁾	RD5: I/O digital ou dado 5 (comunicação paralela).
RD6 / PSP6	29	I/O	TTL/ST ⁽³⁾	RD6: I/O digital ou dado 6 (comunicação paralela).
RD7 / PSP7	30	I/O	TTL/ST ⁽³⁾	RD7: I/O digital ou dado 7 (comunicação paralela).
				PORTE (I/Os digitais bidirecionais e sistema analógico):
RE0 / RD / AN5	8	I/O	TTL/ST ⁽³⁾	RE0: I/O digital ou controle de leitura da porta paralela ou entrada analógica AN5.
RE1 / WR / AN6	9	I/O	TTL/ST ⁽³⁾	RE1: I/O digital ou controle de escrita da porta paralela ou entrada analógica AN6.
RE2 / CS / AN7	10	I/O	TTL/ST ⁽³⁾	RE2: I/O digital ou habilitação externa da porta paralela ou entrada analógica AN7.

Legenda:

I	=	Input (entrada)
O	=	Output (saída)
I/O	=	Input/Output (entrada ou saída)
P	=	Power (alimentação)
-	=	Não-utilizado
TTL	=	Entrada tipo TTL
ST	=	Entrada tipo Schmitt Trigger

Notas:

- (1) Esta entrada é do tipo ST, somente quando configurado como interrupção externa.
- (2) Esta entrada é do tipo ST, somente durante o modo de programação serial.
- (3) Esta entrada é do tipo ST, quando configurado como I/O de uso geral e TTL quando usado em modo de porta paralela.
- (4) Esta entrada é ST quando em modo RC e CMOS nos demais casos.

A Figura (1.2) apresenta a estruturação interna do PIC 16F877A, está esquematizado um diagrama de blocos detalhando todos os periféricos e comunicações que o compõem.

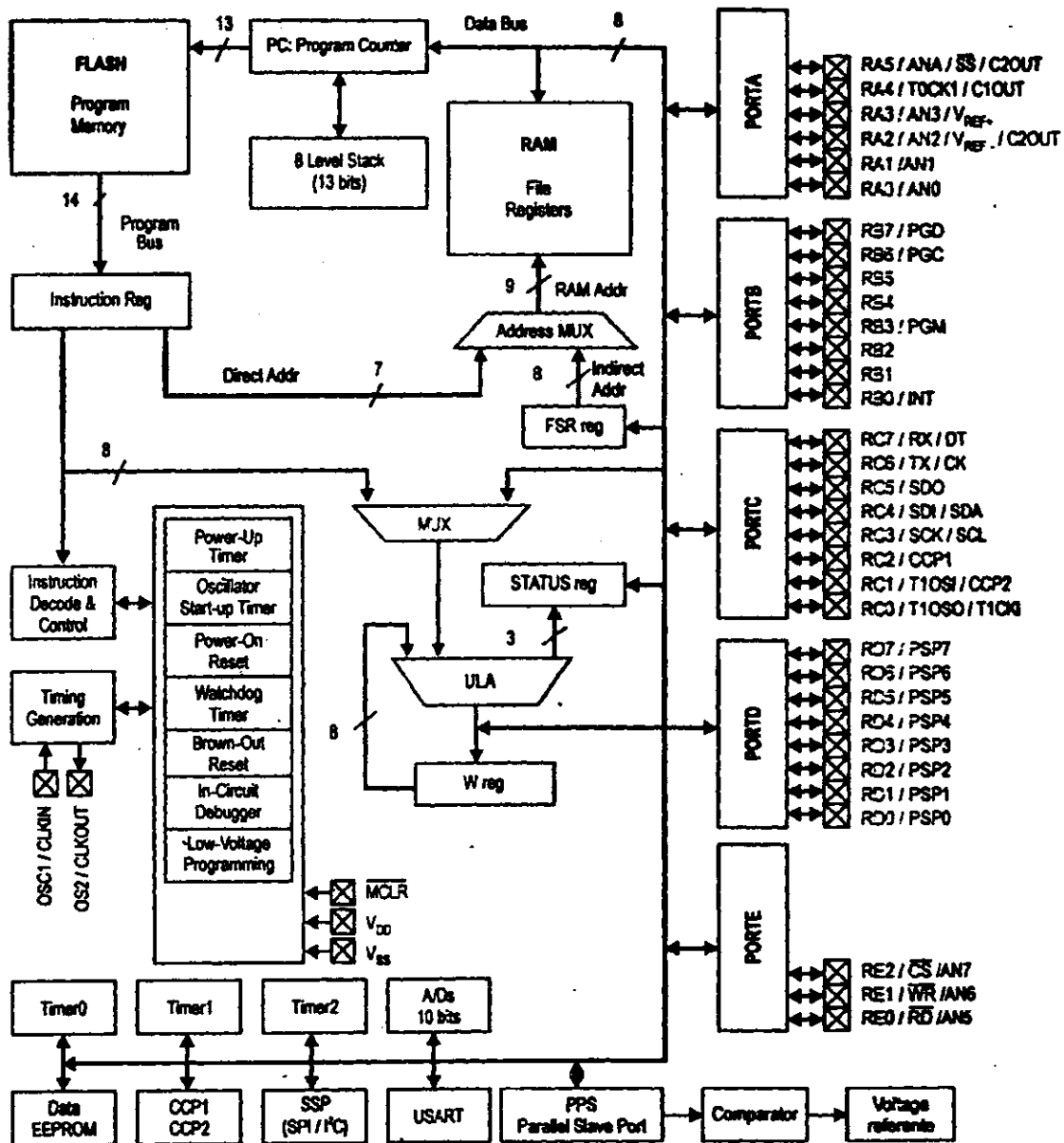


Figura 1.2 - Diagrama de blocos do PIC 16F877 com sua estrutura interna.

Este diagrama foi retirado do data sheet da Microchip. No centro está a ULA, que é a unidade de processamento e está diretamente ligada ao registrador Work (W reg). No canto superior esquerdo temos a memória de programa (FLASH) saindo desse bloco temos um barramento de 14 bits (Program Bus). Mais à direita está a memória de dados (RAM), ela já possui um barramento de 8 bits (Data Bus). Totalmente do lado direito encontram-se os PORTS, de PORTA a PORTE. Na parte inferior podem ser encontrados os demais periféricos, tais como a E²PROM (memória de dados não-

volátil), os timers (TMR0, TMR1 e TMR2), os A/Ds de 10 bits, os modos CCP (Compare, Capture e PWM), as comunicações seriais (SPI, I²C e USART), os comparadores e a tensão de referência. Observe que, entre todos os periféricos, a comunicação é feita através de um barramento de oito vias.

Ao centro está o registrador de status (STATUS reg), onde algumas informações importantes sobre as operações aritméticas da ULA ficam armazenadas, e as demais SFRs (registradores especiais). Na parte superior temos o contador de linha de programa (Program Counter) e a pilha de oito níveis (Stack). Tem-se ainda os circuitos internos de reset, POR, BOR, osciladores, Watchdog Timer (WDT) e sistema de programação.

Para execução de uma instrução pelo processador várias operações precisam ser realizadas, são executadas em subciclos do ciclo de máquina, originados pela divisão do clock externo. Esses subciclos são chamados de Q1, Q2, Q3 e Q4.

O PC (contador de programa) é incrementado automaticamente no início de Q1, Durante o decorrer dos quatro tempos (Q1 a Q4), a instrução previamente carregada para dentro da ULA é executada, sendo trocadas informações com a memória de dados e o registrador Work sempre que necessário. Por último, ao final do tempo Q4, a próxima instrução é buscada da memória de programa e armazenada na ULA. Esta busca da próxima instrução na anterior é conhecido como pipeline, a Fig. (1.3) ilustra os quatro subciclos (Q1 a Q4) e o conceito de Pipeline.

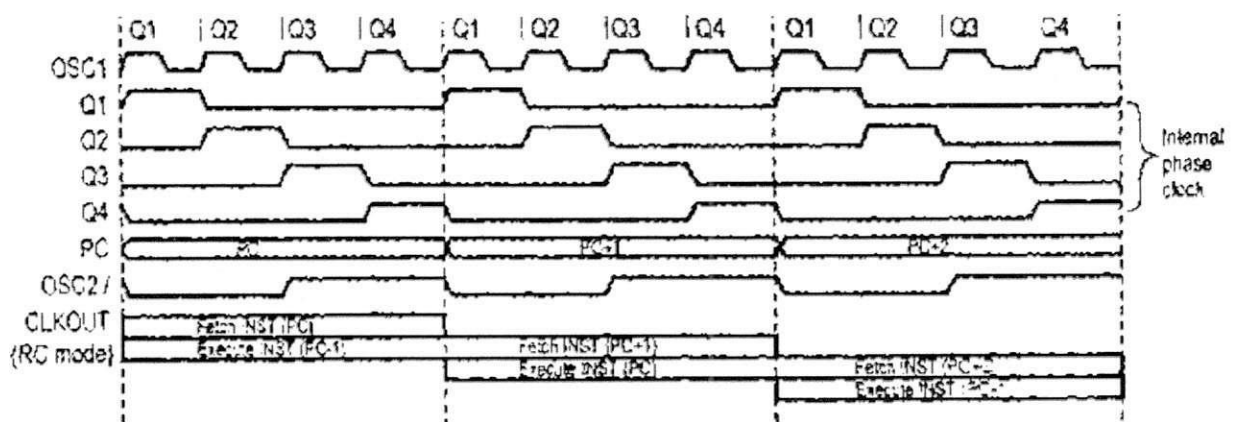


Figura 1.3 - Diagrama dos quatro subciclos da execução de uma instrução no microprocessador.

A Figura (1.4) detalha o mapa da memória de dados do PIC 16F877.

Mapa da memória de dados

Banco 0		Banco 1		Banco 2		Banco 3	
00h	INDF	080h	INDF	100h	INDF	180h	INDF
001h	TMR0	081h	OPTION_REG	101h	TMR0	181h	OPTION_REG
002h	PCL	082h	PCL	102h	PCL	182h	PCL
003h	STATUS	083h	STATUS	103h	STATUS	183h	STATUS
004h	FSR	084h	FSR	104h	FSR	184h	FSR
005h	PORTA	085h	TRISA	105h	FSR	185h	FSR
006h	PORTB	086h	TRISB	106h	PORTB	186h	TRISB
007h	PORTC	087h	TRISC	107h	PORTB	187h	TRISB
008h	PORTD	088h	TRISD	108h	PORTB	188h	TRISB
009h	PORTE	089h	TRISE	109h	PORTB	189h	TRISB
00Ah	PCLATH	08Ah	PCLATH	10Ah	PCLATH	18Ah	PCLATH
00Bh	INTCON	08Bh	INTCON	10Bh	INTCON	18Bh	INTCON
00Ch	PIR1	08Ch	PIE1	10Ch	EEDATA	18Ch	EECON1
00Dh	PIR2	08Dh	PIE2	10Dh	EEADR	18Dh	EECON2
00Eh	TMR1L	08Eh	PCON	10Eh	EEDATH	18Eh	Reservado
00Fh	TMR2H	08Fh	PCON	10Fh	EEADRH	18Fh	Reservado
010h	T1CON	090h	PCON	110h	Uso Geral 16 bytes	190h	Uso Geral 16 bytes
011h	TMR2	091h	SSPCON2				
012h	T2CON	092h	PR2				
013h	SSPBUF	093h	SSPADD				
014h	SSPCON	094h	SSPSTAT				
015h	CCPR1L	095h	SSPSTAT				
016h	CCPR1H	096h	SSPSTAT				
017h	CCP1CON	097h	SSPSTAT				
018h	RCSTA	098h	TXSTA				
019h	TSREG	099h	SPBRG				
01Ah	TXREG	09Ah	SSPSTAT				
01Bh	CCPR2L	09Bh	SSPSTAT				
01Ch	CCPR2H	09Ch	SSPSTAT				
01Dh	CCP2CON	09Dh	SSPSTAT				
01Eh	ADRESH	09Eh	CMCON				
01Fh	ADCON0	09Fh	CRVCON				
020h	Uso Geral 96 bytes	0A0h	Uso Geral 80 bytes				
021h							
022h							
023h							
024h							
025h							
026h	Espelho do Banco 0	0EFh	Espelho do Banco 0				
027h							
028h	Espelho do Banco 0	0F0h	Espelho do Banco 0				
029h							
02Ah	Espelho do Banco 0	0F1h	Espelho do Banco 0				
02Bh							
02Ch	Espelho do Banco 0	0F2h	Espelho do Banco 0				
02Dh							
02Eh	Espelho do Banco 0	0F3h	Espelho do Banco 0				
02Fh							
030h	Espelho do Banco 0	0F4h	Espelho do Banco 0				
031h							
032h	Espelho do Banco 0	0F5h	Espelho do Banco 0				
033h							
034h	Espelho do Banco 0	0F6h	Espelho do Banco 0				
035h							
036h	Espelho do Banco 0	0F7h	Espelho do Banco 0				
037h							
038h	Espelho do Banco 0	0F8h	Espelho do Banco 0				
039h							
03Ah	Espelho do Banco 0	0F9h	Espelho do Banco 0				
03Bh							
03Ch	Espelho do Banco 0	0FAh	Espelho do Banco 0				
03Dh							
03Eh	Espelho do Banco 0	0FBh	Espelho do Banco 0				
03Fh							
040h	Espelho do Banco 0	0FBh	Espelho do Banco 0				
041h							
042h	Espelho do Banco 0	0FBh	Espelho do Banco 0				
043h							
044h	Espelho do Banco 0	0FBh	Espelho do Banco 0				
045h							
046h	Espelho do Banco 0	0FBh	Espelho do Banco 0				
047h							
048h	Espelho do Banco 0	0FBh	Espelho do Banco 0				
049h							
04Ah	Espelho do Banco 0	0FBh	Espelho do Banco 0				
04Bh							
04Ch	Espelho do Banco 0	0FBh	Espelho do Banco 0				
04Dh							
04Eh	Espelho do Banco 0	0FBh	Espelho do Banco 0				
04Fh							
050h	Espelho do Banco 0	0FBh	Espelho do Banco 0				
051h							
052h	Espelho do Banco 0	0FBh	Espelho do Banco 0				
053h							
054h	Espelho do Banco 0	0FBh	Espelho do Banco 0				
055h							
056h	Espelho do Banco 0	0FBh	Espelho do Banco 0				
057h							
058h	Espelho do Banco 0	0FBh	Espelho do Banco 0				
059h							
05Ah	Espelho do Banco 0	0FBh	Espelho do Banco 0				
05Bh							
05Ch	Espelho do Banco 0	0FBh	Espelho do Banco 0				
05Dh							
05Eh	Espelho do Banco 0	0FBh	Espelho do Banco 0				
05Fh							
060h	Espelho do Banco 0	0FBh	Espelho do Banco 0				
061h							
062h	Espelho do Banco 0	0FBh	Espelho do Banco 0				
063h							
064h	Espelho do Banco 0	0FBh	Espelho do Banco 0				
065h							
066h	Espelho do Banco 0	0FBh	Espelho do Banco 0				
067h							
068h	Espelho do Banco 0	0FBh	Espelho do Banco 0				
069h							
06Ah	Espelho do Banco 0	0FBh	Espelho do Banco 0				
06Bh							
06Ch	Espelho do Banco 0	0FBh	Espelho do Banco 0				
06Dh							
06Eh	Espelho do Banco 0	0FBh	Espelho do Banco 0				
06Fh							
070h	Espelho do Banco 0	0FBh	Espelho do Banco 0				
071h							
072h	Espelho do Banco 0	0FBh	Espelho do Banco 0				
073h							
074h	Espelho do Banco 0	0FBh	Espelho do Banco 0				
075h							
076h	Espelho do Banco 0	0FBh	Espelho do Banco 0				
077h							

 Não implementado

Figura 1.4 - Diagrama dos quatro subciclos da execução de uma instrução no microprocessador.

As características elétricas do microcontrolador são apresentadas na Tab. (1.2).

Tabela 1.2 - Características elétricas.

Temperatura de trabalho	-55°C até 125°C
Tensão de trabalho	4 V a 5,5 V
Tensão máxima no pino V_{DD} (em relação ao V_{SS})	-0,3 V até 7,5 V
Tensão máxima no pino MCRL (em relação ao V_{SS})	0 V até 14 V
Tensão máxima no pino RA4 (em relação ao V_{SS})	0 V até 8,5 V
Tensão máxima nos demais pinos (em relação ao V_{SS})	-0,3 V até ($V_{DD} + 0,3$ V)
Dissipação máxima de energia	1,0 W
Corrente máxima de saída no pino V_{SS}	300 mA
Corrente máxima de entrada no pino V_{DD}	250 mA
Corrente máxima de entrada de um pino (quando em V_{SS})	25 mA
Corrente máxima de saída de um pino (quando em V_{DD})	25 mA
Corrente máxima de entrada do PORTA, PORTB e PORTE combinados	200 mA
Corrente máxima de saída do PORTA, PORTB e PORTE combinados	200 mA
Corrente máxima de entrada do PORTC, PORTD combinados	200 mA
Corrente máxima de saída do PORTC, PORTD combinados	200 mA

ANEXO II
PROGRAMA PRINCIPAL UTILIZADO
NO PIC EM LINGUAGEM C

PROGRAMA PRINCIPAL DO MICROCONTROLADOR

/* Este programa transmite serialmente o caractere pressionado no teclado além de apresentá-lo no display LCD. O teclado inclui facilidades de auto-repetição e função shift*/

```
#include <16f877.h>
```

```
#device adc=10
```

```
#use delay(clock=4000000)
```

```
#fuses HS,NOWDT,NOPROTECT,NOLVP,NOBROWNOUT,NOPUT
```

```
#use rs232(baud=9600,parity=N,xmit=PIN_C6,rcv=PIN_C7,bits=8)
```

```
// configuração dos pinos do LCD
```

```
    #define lcd_enable  pin_e0  // pino enable do LCD
```

```
    #define lcd_rs      pin_e1  // pino rs do LCD
```

```
    #define lcd_d4      pin_c0   // pino de dados d4 do LCD
```

```
    #define lcd_d5      pin_c1   // pino de dados d5 do LCD
```

```
    #define lcd_d6      pin_c2   // pino de dados d6 do LCD
```

```
    #define lcd_d7      pin_c3   // pino de dados d7 do LCD
```

```
#include <LCD_16x2_Libteste.c>
```

```
#include <math.h>
```

```
#include <stdlib.h>
```

```
#fuses HS,NOWDT,NOPROTECT,NOLVP,NOBROWNOUT,NOPUT
```

```
// Definições da matriz do teclado
```

```
#define fio0      pin_d0
```

```
#define fio1    pin_d1
#define fio2    pin_d2
#define fio3    pin_d3
#define fio4    pin_d4
#define fio5    pin_d5
#define fio6    pin_d6
#define fio7    pin_d7
```

char varre_teclas (void)

/* Realiza a varredura do teclado e retorna o valor da tecla pressionada.

O teclado está conectado da seguinte forma:

```
//   FIO0  FIO1  FIO2  FIO3  FIO4  FIO5  FIO6  FIO7
// FIO0  -   -   -   -   -   3   2   1
// FIO1  -   -   -   -   F   6   5   4
// FIO2  -   -   -   -       9   8   7
// FIO3  -   -   -   -   R   #   0   *-M
```

Os valores decimais retornados são:

```
0 48
1 49
2 50
3 51
4 52
5 53
6 54
7 55
8 56
```

9 57

*/

{

int tecla;

tecla=' ';

output_high(fio0); // ativa o fio 1

output_low(fio1); // desativa o fio 2

output_low(fio2); // desativa o fio 3

output_low(fio3); // desativa o fio 4

output_low(fio4); // desativa o fio 5

output_low(fio5); // desativa o fio 6

output_low(fio6); // desativa o fio 7

output_low(fio7); // desativa o fio 8

if (input(fio4)) tecla = 'R';

if (input(fio5)) tecla = ' ';

if (input(fio6)) tecla = ' ';

if (input(fio7)) tecla = ' ';

output_low(fio0); // desativa o fio 1

output_high(fio1); // ativa o fio 2

if (input(fio4)) tecla = '*';

if (input(fio5)) tecla = '7';

if (input(fio6)) tecla = '1';

if (input(fio7)) tecla = '4';

output_low(fio1); // desativa o fio 1

output_high(fio2); // ativa o fio 2

if (input(fio4)) tecla = '0';

if (input(fio5)) tecla = '8';

if (input(fio6)) tecla = '2';

if (input(fio7)) tecla = '5';

output_low(fio2); // desativa o fio 1

```
output_high(fio3); // ativa o fio 2
if (input(fio4)) tecla = '#';
if (input(fio5)) tecla = '9';
if (input(fio6)) tecla = '3';
if (input(fio7)) tecla = '6';//M
return (tecla);
}
```

```
int32 potd (int n2)
```

```
{
```

```
int32 z22=1;
```

```
while (n2>0)
```

```
{
```

```
z22=z22*10;
```

```
n2=n2-1;
```

```
}
```

```
return (z22);
```

```
}
```

```
main()
```

```
{
```

```
int32 i,ii,i3,i4;
```

```
signed int eant,e1;
```

```
long int valor,vlido[5];
```

```
int32 val32,valorant,vmedio,vaceito,valorconv;
```

```
float vaceito2,erro;
```

```
int tecla;

set_tris_a( 0xFF );
setup_adc_ports(RA0_ANALOG);
setup_adc(ADC_CLOCK_DIV_2);
setup_psp(PSP_DISABLED);
setup_spi(FALSE);
setup_counters(RTCC_INTERNAL,RTCC_DIV_2);
setup_timer_1(T1_DISABLED);
setup_timer_2(T2_DISABLED,0,1);
set_adc_channel(0);
delay_us(10);

valor=0;
valorant=0;
vmedio=0;
    val32=0;
i=0;
e1=0;
eant=0;

output_low(pin_b1);
output_low(pin_b2);

ini_lcd_16x2(); // inicializa pinos RS232

for (i=0;i<5;i++)
{
vlido[i]=0;
}

printf (exibe_lcd,"\nDIGITE VALOR DA TENSÃO E LND =>");
```

```
        delay_ms(2000);
exibe_lcd('\f');
delay_ms(100);

i=0;
while (true)
{
    tecla = varre_teclas();
    if (tecla != ' ')
    {
        printf (exibe_lcd,"%c",tecla);
        delay_ms(1000);
        vlido[i]=tecla;
        i=i+1;
    }

    if (tecla == 'R')
    {
        goto pula;
    }
}

pula:

vaceito=0;
ii=0;
i=i-1;

while (i>0)
{
    i3=i-1;
    i4=potd((int32) i3);
```

```
vaceito=vaceito+(vlido[ii]-48)*i4;
ii=ii+1;
i=i-1;
}

printf (exibe_lcd,"\fvaceito= %lu",vaceito);
delay_ms(1000);

vaceito2=1500*( (float)vaceito/340 );
valorconv=vaceito2;

    exhibe_lcd ('\f'); // apaga o display
delay_ms(100);

ii=1;
i3=1;

le:

i=0;
valor=0;
valorant=0;
val32=0;
    for (i=1;i<50;i++)
    {
        // O escalonamento é realizado da seguinte forma:
        // resultado = (5000 * valor lido) / 1023
        // Para facilitar os cálculos, somamos um ao
        // valor lido:
        // resultado = (5000 * (valor + 1)) / 1024
        // simplificando:
```

```
// resultado = ((valor + 1) * 4) + ((valor + 1) * 113) / 128
// Repare que é necessário converter a segunda parte da
// equação para 32 bits para que o compilador efetue o
// cálculo corretamente
valor = read_adc(); // efetua a conversão A/D
// Se o valor é > 0, soma 1 ao valor lido
if (valor==0) valor += 1;
// imprime o valor da tensão no display
// 5000 = 5,000 Volts ou 5000 milivolts
val32 = (5100 * ((int32)valor+1)) / 1024;

if (val32>valorant) valorant = val32;

}

valorconv=(float)((valorant*(float)340/1500)/1.4142);

printf (exibe_lcd, "\fTensao = %lu V", valorconv);
delay_ms (200);

erro=abs((float)((((float)vaccito)-(float)valorconv)/(float)vaccito));

if(erro<0.03)
{
output_low(pin_c5);
delay_ms(50);
output_low(pin_c4);
goto le;
}
```



```
if (vaceito>valorconv)
{
output_low(pin_c4);
delay_ms(50);
output_high(pin_c5);
goto le;
}
if (vaceito<valorconv)
{
output_low(pin_c5);
delay_ms(50);
output_high(pin_c4);
goto le;
}
}
```

ANEXO III

DEFINIÇÕES E DIRETIVAS UTILIZADAS PELO COMPILADOR PARA O PIC 16F877 EM LINGUAGEM C

FUSES VÁLIDOS

LP	Low power osc < 200 khz
XT	Crystal osc <= 4mhz
HS	High speed Osc (> 4mhz)
RC	Resistor/Capacitor Osc with CLKOUT
NOWDT	No Watch Dog Timer
WDT	Watch Dog Timer
NOPUT	No Power Up Timer
PUT	Power Up Timer
PROTECT	Code protected from reads
PROTECT_5%	Protect 5% of ROM
PROTECT_50%	Protect 50% of ROM
NOPROTECT	Code not protected from reading
NOBROWNOUT	No brownout reset
BROWNOUT	Reset when brownout detected
LVP	Low Voltage Programming on B3(PIC16) or B5(PIC18)
NOLVP	No low voltage prgming, B3(PIC16) or B5(PIC18) used for I/O
CPD	Data EEPROM Code Protected
NOCPD	No EE protection
WRT	Program Memory Write Protected
NOWRT	Program memory not write protected
DEBUG	Debug mode for use with ICD
NODEBUG	No Debug mode for ICD

INTERRUPÇÕES VÁLIDAS

RB	Port B any change on B4-B7
EXT	External interrupt
AD	Analog to digital conversion complete
TBE	RS232 transmit buffer empty
RDA	RS232 receive data available
TIMER1	Timer 1 overflow
TIMER2	Timer 2 overflow
CCP1	Capture or Compare on unit 1
CCP2	Capture or Compare on unit 2
SSP	SPI or I2C activity

PSP	Parallel Slave Port data in
BUSCOL	Bus collision
EEPROM	Write complete
TIMER0	Timer 0 overflow (using TIMER0 name)

16F877

```

//////// Standard Header file for the PIC16F877 device //////////
#device PIC16F877
#nolist
//////// Program memory: 8192x14 Data RAM: 367 Stack: 8
//////// I/O: 33 Analog Pins: 8
//////// Data EEPROM: 256
//////// C Scratch area: 77 ID Location: 2000
//////// Fuses: LP,XT,HS,RC,NOWDT,WDT,NOPUT,PUT,PROTECT,PROTECT_5%
//////// Fuses:
PROTECT_5%,NOPROTECT,NOBROWNOUT,BROWNOUT,LVP,NOLVP,CPD
//////// Fuses: NOCPD,WRT,NOWRT,DEBUG,NODEBUG
////////
//////////////////////////////////// I/O
// Discrete I/O Functions: SET_TRIS_x(), OUTPUT_x(), INPUT_x(),
// PORT_B_PULLUPS(), INPUT(),
// OUTPUT_LOW(), OUTPUT_HIGH(),
// OUTPUT_FLOAT(), OUTPUT_BIT()
// Constants used to identify pins in the above are:

#define PIN_A0 40
#define PIN_A1 41
#define PIN_A2 42
#define PIN_A3 43
#define PIN_A4 44
#define PIN_A5 45

#define PIN_B0 48
#define PIN_B1 49
#define PIN_B2 50
#define PIN_B3 51
#define PIN_B4 52
#define PIN_B5 53
#define PIN_B6 54
#define PIN_B7 55

#define PIN_C0 56
#define PIN_C1 57

```

```
#define PIN_C2 58
#define PIN_C3 59
#define PIN_C4 60
#define PIN_C5 61
#define PIN_C6 62
#define PIN_C7 63

#define PIN_D0 64
#define PIN_D1 65
#define PIN_D2 66
#define PIN_D3 67
#define PIN_D4 68
#define PIN_D5 69
#define PIN_D6 70
#define PIN_D7 71

#define PIN_E0 72
#define PIN_E1 73
#define PIN_E2 74

//////////////////////////////////// Useful defines
#define FALSE 0
#define TRUE 1

#define BYTE int
#define BOOLEAN short int

#define getch getch
#define fgetc getch
#define getchar getch
#define putchar putchar
#define fputc putchar
#define fgets gets
#define fputs puts

//////////////////////////////////// Control
// Control Functions: RESET_CPU(), SLEEP(), RESTART_CAUSE()
// Constants returned from RESTART_CAUSE() are:
#define WDT_FROM_SLEEP 0
#define WDT_TIMEOUT 8
#define MCLR_FROM_SLEEP 16
#define NORMAL_POWER_UP 24

//////////////////////////////////// Timer 0
// Timer 0 (AKA RTCC) Functions: SETUP_COUNTERS() or SETUP_TIMER0(),
//          SET_TIMER0() or SET_RTCC(),
//          GET_TIMER0() or GET_RTCC()
```

```
// Constants used for SETUP_TIMER0() are:
#define RTCC_INTERNAL 0
#define RTCC_EXT_L_TO_H 32
#define RTCC_EXT_H_TO_L 48

#define RTCC_DIV_1 8
#define RTCC_DIV_2 0
#define RTCC_DIV_4 1
#define RTCC_DIV_8 2
#define RTCC_DIV_16 3
#define RTCC_DIV_32 4
#define RTCC_DIV_64 5
#define RTCC_DIV_128 6
#define RTCC_DIV_256 7

#define RTCC_8_BIT 0

// Constants used for SETUP_COUNTERS() are the above
// constants for the 1st param and the following for
// the 2nd param:

////////////////////////////////////// WDT
// Watch Dog Timer Functions: SETUP_WDT() or SETUP_COUNTERS() (see above)
// RESTART_WDT()
//
#define WDT_18MS 8
#define WDT_36MS 9
#define WDT_72MS 10
#define WDT_144MS 11
#define WDT_288MS 12
#define WDT_576MS 13
#define WDT_1152MS 14
#define WDT_2304MS 15

////////////////////////////////////// Timer 1
// Timer 1 Functions: SETUP_TIMER_1, GET_TIMER1, SET_TIMER1
// Constants used for SETUP_TIMER_1() are:
// (or (via |) together constants from each group)
#define T1_DISABLED 0
#define T1_INTERNAL 0x85
#define T1_EXTERNAL 0x87
#define T1_EXTERNAL_SYNC 0x83

#define T1_CLK_OUT 8

#define T1_DIV_BY_1 0
#define T1_DIV_BY_2 0x10
```

```
#define T1_DIV_BY_4    0x20
#define T1_DIV_BY_8    0x30

////////////////////////////////////// Timer 2
// Timer 2 Functions: SETUP_TIMER_2, GET_TIMER2, SET_TIMER2
// Constants used for SETUP_TIMER_2() are:
#define T2_DISABLED    0
#define T2_DIV_BY_1    4
#define T2_DIV_BY_4    5
#define T2_DIV_BY_16   6

////////////////////////////////////// CCP
// CCP Functions: SETUP_CCPx, SET_PWMx_DUTY
// CCP Variables: CCP_x, CCP_x_LOW, CCP_x_HIGH
// Constants used for SETUP_CCPx() are:
#define CCP_OFF        0
#define CCP_CAPTURE_FE    4
#define CCP_CAPTURE_RE    5
#define CCP_CAPTURE_DIV_4    6
#define CCP_CAPTURE_DIV_16   7
#define CCP_COMPARE_SET_ON_MATCH    8
#define CCP_COMPARE_CLR_ON_MATCH    9
#define CCP_COMPARE_INT    0xA
#define CCP_COMPARE_RESET_TIMER    0xB
#define CCP_PWM            0xC
#define CCP_PWM_PLUS_1    0x1c
#define CCP_PWM_PLUS_2    0x2c
#define CCP_PWM_PLUS_3    0x3c
long CCP_1;
#define CCP_1            0x15
#define CCP_1_LOW        0x15
#define CCP_1_HIGH        0x16
long CCP_2;
#define CCP_2            0x1B
#define CCP_2_LOW        0x1B
#define CCP_2_HIGH        0x1C

////////////////////////////////////// PSP
// PSP Functions: SETUP_PSP, PSP_INPUT_FULL(), PSP_OUTPUT_FULL(),
//                PSP_OVERFLOW(), INPUT_D(), OUTPUT_D()
// PSP Variables: PSP_DATA
// Constants used in SETUP_PSP() are:
#define PSP_ENABLED    0x10
#define PSP_DISABLED    0

#define PSP_DATA        8

////////////////////////////////////// SPI
// SPI Functions: SETUP_SPI, SPI_WRITE, SPI_READ, SPI_DATA_IN
```

```

// Constants used in SETUP_SSP() are:
#define SPI_MASTER    0x20
#define SPI_SLAVE     0x24
#define SPI_L_TO_H    0
#define SPI_H_TO_L    0x10
#define SPI_CLK_DIV_4  0
#define SPI_CLK_DIV_16 1
#define SPI_CLK_DIV_64 2
#define SPI_CLK_T2     3
#define SPI_SS_DISABLED 1

#define SPI_SAMPLE_AT_END 0x8000
#define SPI_XMIT_L_TO_H 0x4000

////////////////////////////////////// UART
// Constants used in setup_uart() are:
// FALSE - Turn UART off
// TRUE  - Turn UART on
#define UART_ADDRESS 2
#define UART_DATA    4
// TRUE  - Turn UART on
////////////////////////////////////// ADC
// ADC Functions: SETUP_ADC(), SETUP_ADC_PORTS() (aka SETUP_PORT_A),
//                SET_ADC_CHANNEL(), READ_ADC()
// Constants used in SETUP_ADC_PORTS() are:
#define NO_ANALOGS      0x86 // None
#define ALL_ANALOG     0x80 // A0 A1 A2 A3 A5 E0 E1 E2 Ref=Vdd
#define ANALOG_RA3_REF 0x81 // A0 A1 A2 A5 E0 E1 E2 Ref=A3
#define A_ANALOG       0x82 // A0 A1 A2 A3 A5 Ref=Vdd
#define A_ANALOG_RA3_REF 0x83 // A0 A1 A2 A5 Ref=A3
#define RA0_RA1_RA3_ANALOG 0x84 // A0 A1 A3 Ref=Vdd
#define RA0_RA1_ANALOG_RA3_REF 0x85 // A0 A1 Ref=A3
#define ANALOG_RA3_RA2_REF 0x88 // A0 A1 A5 E0 E1 E2 Ref=A2,A3
#define ANALOG_NOT_RE1_RE2 0x89 // A0 A1 A2 A3 A5 E0 Ref=Vdd
#define ANALOG_NOT_RE1_RE2_REF_RA3 0x8A // A0 A1 A2 A5 E0 Ref=A3
#define ANALOG_NOT_RE1_RE2_REF_RA3_RA2 0x8B // A0 A1 A5 E0
Ref=A2,A3
#define A_ANALOG_RA3_RA2_REF 0x8C // A0 A1 A5 Ref=A2,A3
#define RA0_RA1_ANALOG_RA3_RA2_REF 0x8D // A0 A1 Ref=A2,A3
#define RA0_ANALOG 0x8E // A0
#define RA0_ANALOG_RA3_RA2_REF 0x8F // A0 Ref=A2,A3
// Constants used for SETUP_ADC() are:
#define ADC_OFF 0 // ADC Off
#define ADC_CLOCK_DIV_2 1
#define ADC_CLOCK_DIV_8 0x41
#define ADC_CLOCK_DIV_32 0x81
#define ADC_CLOCK_INTERNAL 0xc1 // Internal 2-6us

```



```
// Constants used in READ_ADC() are:
#define ADC_START_AND_READ 7 // This is the default if nothing is specified
#define ADC_START_ONLY 1
#define ADC_READ_ONLY 6

////////////////////////////////////// INT
// Interrupt Functions: ENABLE_INTERRUPTS(), DISABLE_INTERRUPTS(),
// EXT_INT_EDGE()
//
// Constants used in EXT_INT_EDGE() are:
#define L_TO_H 0x40
#define H_TO_L 0
// Constants used in ENABLE/DISABLE_INTERRUPTS() are:
#define GLOBAL 0x0BC0
#define INT_RTCC 0x0B20
#define INT_RB 0x0B08
#define INT_EXT 0x0B10
#define INT_AD 0x8C40
#define INT_TBE 0x8C10
#define INT_RDA 0x8C20
#define INT_TIMER1 0x8C01
#define INT_TIMER2 0x8C02
#define INT_CCP1 0x8C04
#define INT_CCP2 0x8D01
#define INT_SSP 0x8C08
#define INT_PSP 0x8C80
#define INT_BUSCOL 0x8D08
#define INT_EEPROM 0x8D10
#define INT_TIMER0 0x0B20

#list
```

ANEXO IV

**PROGRAMA PARA COMUNICAÇÃO
ENTRE O LCD E O PIC 16F877 EM LIN-
GUAGEM C - FEITO POR FÁBIO PE-
REIRA EM SEU LIVRO**

```

/*****
**/
/* MOD_LCD.C - Biblioteca de manipulação de módulo LCD */
/*
/*
/* Autor: Fábio Pereira */
/*
/*
/*****
**/

// As definições a seguir são utilizadas para acesso aos pinos do display
// caso o pino RW não seja utilizado, comente a definição lcd_rw
#ifndef lcd_enable
#define lcd_enable pin_e1 // pino enable do LCD
#define lcd_rs pin_e0 // pino rs do LCD
// #define lcd_rw pin_e2 // pino rw do LCD
#define lcd_d4 pin_d4 // pino de dados d4 do LCD
#define lcd_d5 pin_d5 // pino de dados d5 do LCD
#define lcd_d6 pin_d6 // pino de dados d6 do LCD
#define lcd_d7 pin_d7 // pino de dados d7 do LCD
#endif

#define lcd_type 2 // 0=5x7, 1=5x10, 2=2 linhas
#define lcd_seg_lin 0x40 // Endereço da segunda linha na RAM do LCD

// a constante abaixo define a seqüência de inicialização do módulo LCD
// byte CONST INI_LCD[4] = {0x20 | (lcd_type << 2), 0xf, 1, 6};
byte CONST INI_LCD[4] = {0x20 | (lcd_type << 2), 0x0c, 1, 6};

byte lcd_le_byte()

```

```
// lê um byte do LCD (somente com pino RW)
{
    byte dado;
    // configura os pinos de dados como entradas
    input(lcd_d4);
    input(lcd_d5);
    input(lcd_d6);
    input(lcd_d7);
    // se o pino rw for utilizado, coloca em 1
    #ifdef lcd_rw
        output_high(lcd_rw);
    #endif
    output_high(lcd_enable); // habilita display
    dado = 0; // zera a variável de leitura
    // lê os quatro bits mais significativos
    if (input(lcd_d7)) bit_set(dado,7);
    if (input(lcd_d6)) bit_set(dado,6);
    if (input(lcd_d5)) bit_set(dado,5);
    if (input(lcd_d4)) bit_set(dado,4);
    // dá um pulso na linha enable
    output_low(lcd_enable);
    output_high(lcd_enable);
    // lê os quatro bits menos significativos
    if (input(lcd_d7)) bit_set(dado,3);
    if (input(lcd_d6)) bit_set(dado,2);
    if (input(lcd_d5)) bit_set(dado,1);
    if (input(lcd_d4)) bit_set(dado,0);
    output_low(lcd_enable); // desabilita o display
    return dado; // retorna o byte lido
}

void lcd_envia_nibble( byte dado )
```

```
// envia um dado de quatro bits para o display
{
    // coloca os quatro bits nas saidas
    output_bit(lcd_d4,bit_test(dado,0));
    output_bit(lcd_d5,bit_test(dado,1));
    output_bit(lcd_d6,bit_test(dado,2));
    output_bit(lcd_d7,bit_test(dado,3));
    // dá um pulso na linha enable
    output_high(lcd_enable);
    output_low(lcd_enable);
}

void lcd_envia_byte( boolean endereco, byte dado )
{
    // coloca a linha rs em 0
    output_low(lcd_rs);
    // aguarda o display ficar desocupado
    //while ( bit_test(lcd_le_byte(),7) ) ;
    // configura a linha rs dependendo do modo selecionado
    output_bit(lcd_rs,endereco);
    delay_us(100);    // aguarda 100 us
    // caso a linha rw esteja definida, coloca em 0
    #ifdef lcd_rw
        output_low(lcd_rw);
    #endif
    // desativa linha enable
    output_low(lcd_enable);
    // envia a primeira parte do byte
    lcd_envia_nibble(dado >> 4);
    // envia a segunda parte do byte
    lcd_envia_nibble(dado & 0x0f);
}
```

```
}
```

```
void lcd_ini()
```

```
// rotina de inicialização do display
```

```
{
```

```
    byte conta;
```

```
    output_low(lcd_d4);
```

```
    output_low(lcd_d5);
```

```
    output_low(lcd_d6);
```

```
    output_low(lcd_d7);
```

```
    output_low(lcd_rs);
```

```
    #ifdef lcd_rw
```

```
        output_high(lcd_rw);
```

```
    #endif
```

```
    output_low(lcd_enable);
```

```
    delay_ms(15);
```

```
    // envia uma seqüência de 3 vezes 0x03
```

```
    // e depois 0x02 para configurar o módulo
```

```
    // para modo de 4 bits
```

```
    for(conta=1;conta<=3;++conta)
```

```
    {
```

```
        lcd_envia_nibble(3);
```

```
        delay_ms(5);
```

```
    }
```

```
    lcd_envia_nibble(2);
```

```
    // envia string de inicialização do display
    for(conta=0;conta<=3;++conta) lcd_envia_byte(0,INI_LCD[conta]);
}
```

```
void lcd_pos_xy( byte x, byte y)
{
    byte endereco;
    if(y!=1)
        endereco = lcd_seg_lin;
    else
        endereco = 0;
    endereco += x-1;
    lcd_envia_byte(0,0x80|endereco);
}
```

```
void lcd_escreve( char c)
// envia caractere para o display
{
    switch (c)
    {
        case '\f' :    lcd_envia_byte(0,1);
                       delay_ms(2);
                       break;

        case '\n' :

        case '\r' :    lcd_pos_xy(1,2);
                       break;

        case '\b' :    lcd_envia_byte(0,0x10);
                       break;

        default :     lcd_envia_byte(1,c);
                       break;
    }
}
```

```
        output_high(lcd_enable);

    }
}

char lcd_le( byte x, byte y)
// le caractere do display
{
    char valor;
    // seleciona a posição do caractere
    lcd_pos_xy(x,y);
    // ativa rs
    output_high(lcd_rs);
    // lê o caractere
    valor = lcd_le_byte();
    // desativa rs
    output_low(lcd_rs);
    // retorna o valor do caractere
    return valor;
}
```


ANEXO V
PROGRAMAÇÃO E GRAVAÇÃO DO
MICROCONTROLADOR

ANEXO 5 - PROGRAMAÇÃO E GRAVAÇÃO DO MICROCONTROLADOR

Serão abordados aspectos da programação e da gravação do microcontrolador.

5.1 - GRAVADOR DO MICROCONTROLADOR

Neste projeto foi utilizado o gravador de microcontrolador que está na placa comercial Módulo Básico PIC da Microlabs ("Placa de estudos e aplicações"), idealizada e fabricada por Lúcio Hélio da Costa de Santana, conforme mostrada na Fig. (5.1). Visto que o microcontrolador utilizado neste projeto foi o de 40 pinos, a placa foi utilizada somente para gravação do mesmo, tendo sido montado o módulo de teste em protoboard.

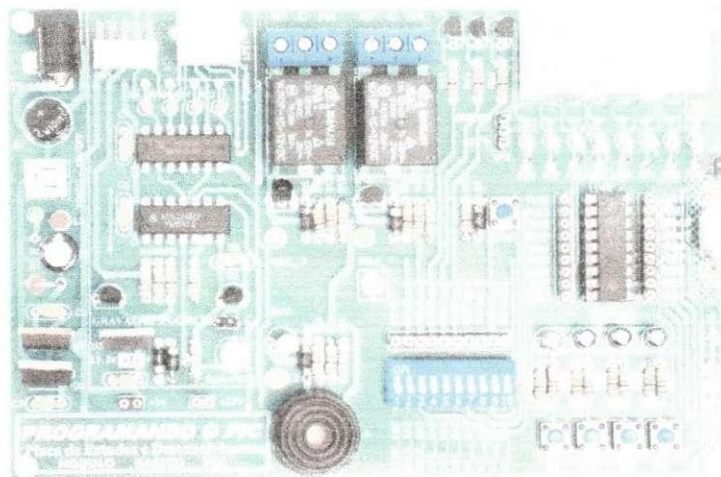


Figura 5.1 - Placa comercial da Microlabs para treinamento e projeto de microcontroladores PIC 16F628A (18 pinos).

O esquema de ligação para gravação é ilustrado na Fig. (5.2), onde as ligações eventualmente utilizadas dos pinos RB6 e RB7 do PIC de 40 pinos devem ser ligadas nos pinos RB6 e RB7 da aplicação que vêm da placa de treinamento.

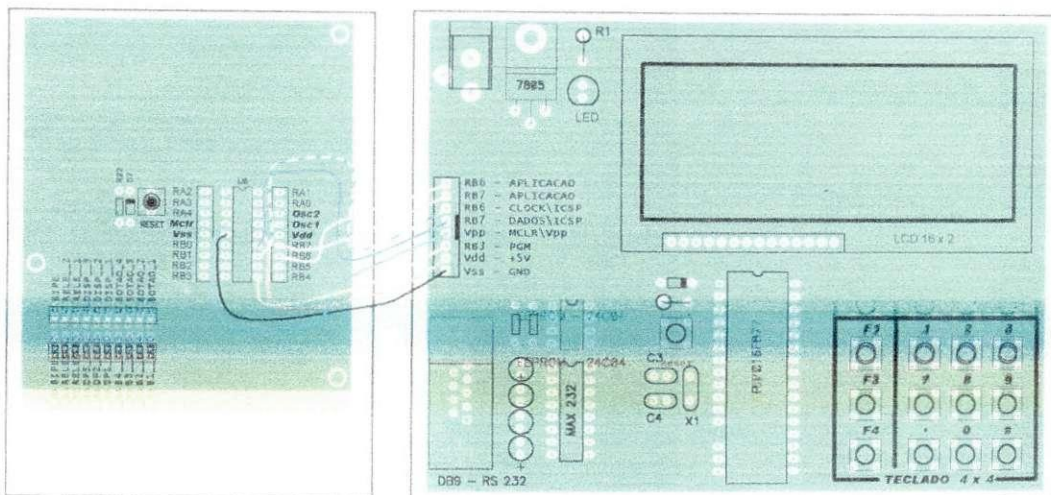


Figura 5.2 - Esquema de ligação entre a placa da Microlabs para pines de 18 pines e a aplicação em outros tipos de pines.

Uma outra opção exclusivamente para gravação do microcontrolador é a sua montagem, conforme Fig. (5.3). O PIC possui sistema serial de gravação, possuindo um pino para ativação do modo programação, esse é que tem que estar com a tensão alta (13 V); um pino de comunicação bidirecional, para gravar e ler os programas; um pino de clock; e logicamente a alimentação normal 5V e GND. Os pines acima são de multiplas funções, assim no modo normal são usados como /MCLR , RB7, RB6, VDD e VSS.

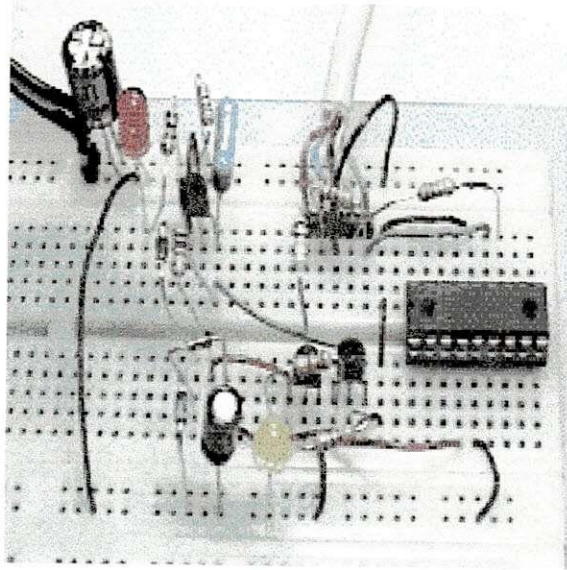


Figura 5.3 - Esquema de um gravador para pics que pode ser montado.

Seu diagrama elétrico é mostrado na Fig. (5.4).

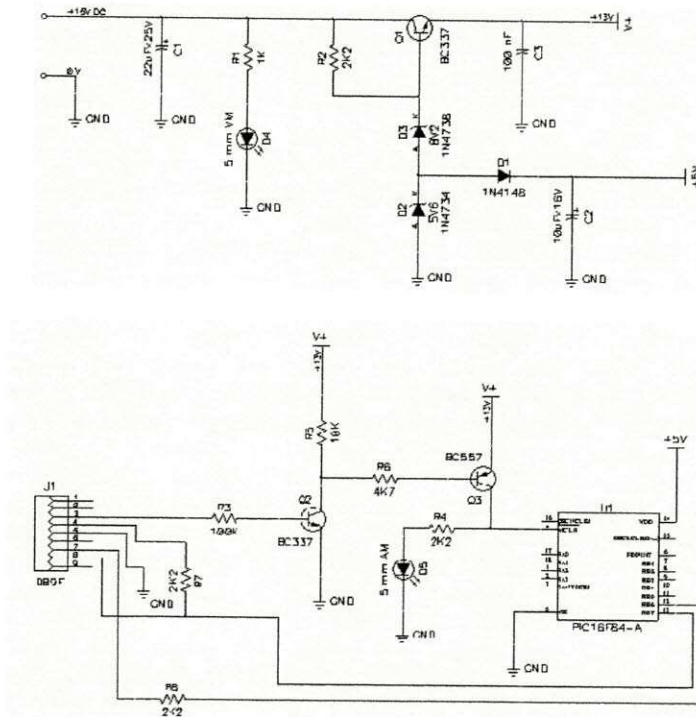


Figura 5.4 - Esquema elétrico do gravador para Pics (opcional).

5.2 - A PROGRAMAÇÃO DO MICROCONTROLADOR

Neste projeto optou-se pela programação na linguagem C++, utilizando o compilador da CCS, as Figs.(5.5) à (5.11) ilustram passo a passo desde a criação de um projeto até sua compilação e geração de um arquivo em hexadecimal para gravação na memória do PIC.

Na Figura 5.5 é mostrada a inicialização do software para programação em C++.

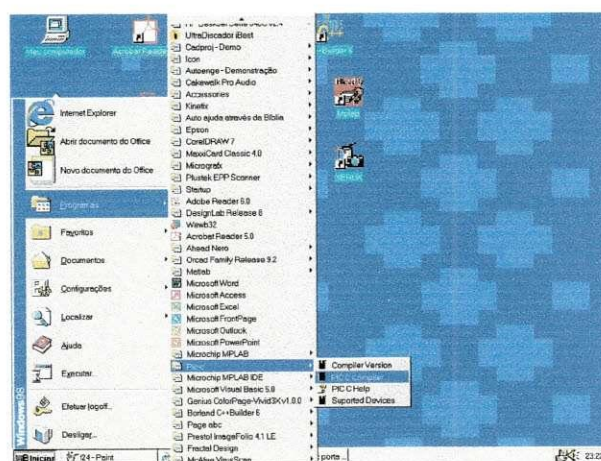


Figura 5.5 - Iniciando o Pic C Compiler

Na Figura 5.6 é mostrada a criação de um projeto para iniciar a fase de programação.

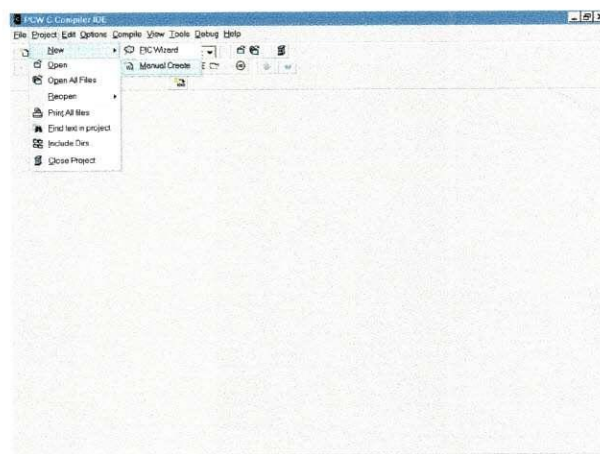


Figura 5.6 - Criando um projeto

Na Figura 5.7 é mostrada a criação de um projeto no modo manual.

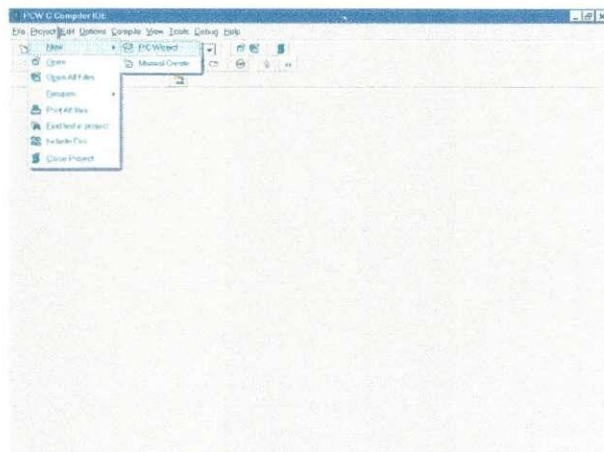


Figura 5.7 - Criando um projeto modo manual

Na Figura 5.8 é mostrada a alocação, salvamento do projeto na pasta alvo de trabalho.

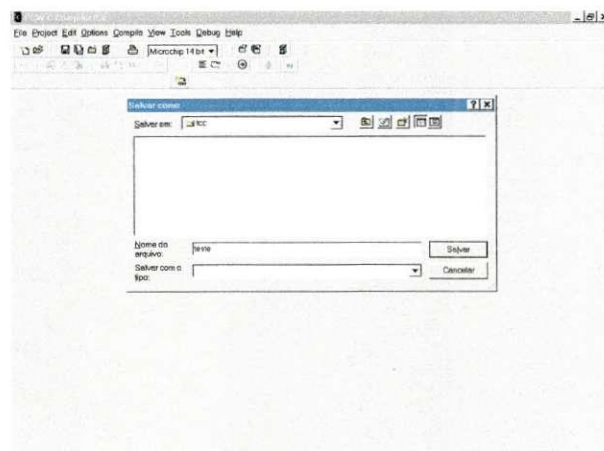


Figura 5.8 - Indicando pasta onde devem ser alocados todos os arquivos gerados pelo projeto

Na Figura 5.9 é mostrada a escolha do tipo de microcontrolador PIC com suas respectivas configurações.

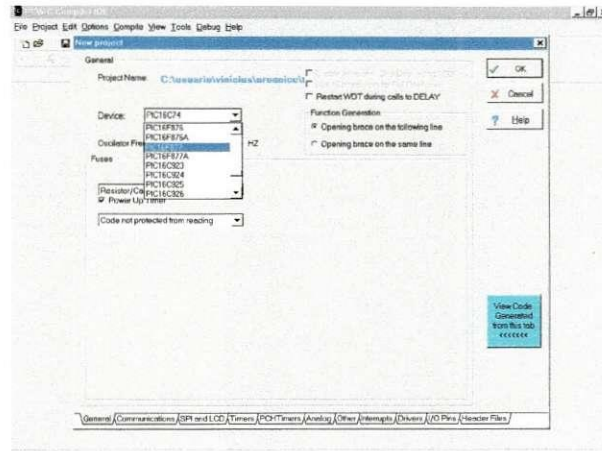


Figura 5.9 - Indicando o tipo de microcontrolador a ser utilizado, no caso o PIC 16F877.

Na Figura 5.10 é mostrado o programa já digitado referente à aplicação desejada, configurado o PIC com o respectivo algoritmo a ser programado.

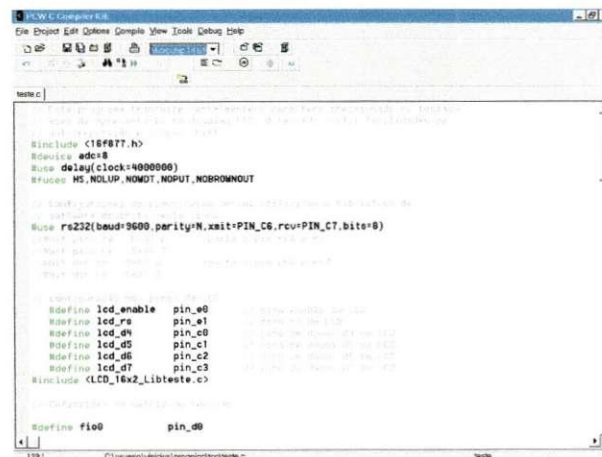


Figura 5.10 - Digitação do código associado ao projeto.

Na Figura 5.11 é mostrado o início da compilação do programa.

```

#include <16F877.h>
#define adc=0
#define diag(clock=4000000)
#define HS_NOLVP NOMOT, NOPUT, NOBRNOUT

#define rs232(baud=9600, parity=N, xmit+PIN_CG, rcv+PIN_CT, bits=8)
#define pin_e0 pin_e0
#define pin_e1 pin_e1
#define pin_e2 pin_e2
#define pin_e3 pin_e3
#define pin_e4 pin_e4
#define pin_e5 pin_e5
#define pin_e6 pin_e6
#define pin_e7 pin_e7
#define pin_e8 pin_e8
#define pin_e9 pin_e9
#define pin_e10 pin_e10
#define pin_e11 pin_e11
#define pin_e12 pin_e12
#define pin_e13 pin_e13
#define pin_e14 pin_e14
#define pin_e15 pin_e15
#define pin_e16 pin_e16
#define pin_e17 pin_e17
#define pin_e18 pin_e18
#define pin_e19 pin_e19
#define pin_e20 pin_e20
#define pin_e21 pin_e21
#define pin_e22 pin_e22
#define pin_e23 pin_e23
#define pin_e24 pin_e24
#define pin_e25 pin_e25
#define pin_e26 pin_e26
#define pin_e27 pin_e27
#define pin_e28 pin_e28
#define pin_e29 pin_e29
#define pin_e30 pin_e30
#define pin_e31 pin_e31
#define pin_e32 pin_e32
#define pin_e33 pin_e33
#define pin_e34 pin_e34
#define pin_e35 pin_e35
#define pin_e36 pin_e36
#define pin_e37 pin_e37
#define pin_e38 pin_e38
#define pin_e39 pin_e39
#define pin_e40 pin_e40
#define pin_e41 pin_e41
#define pin_e42 pin_e42
#define pin_e43 pin_e43
#define pin_e44 pin_e44
#define pin_e45 pin_e45
#define pin_e46 pin_e46
#define pin_e47 pin_e47
#define pin_e48 pin_e48
#define pin_e49 pin_e49
#define pin_e50 pin_e50
#define pin_e51 pin_e51
#define pin_e52 pin_e52
#define pin_e53 pin_e53
#define pin_e54 pin_e54
#define pin_e55 pin_e55
#define pin_e56 pin_e56
#define pin_e57 pin_e57
#define pin_e58 pin_e58
#define pin_e59 pin_e59
#define pin_e60 pin_e60
#define pin_e61 pin_e61
#define pin_e62 pin_e62
#define pin_e63 pin_e63
#define pin_e64 pin_e64
#define pin_e65 pin_e65
#define pin_e66 pin_e66
#define pin_e67 pin_e67
#define pin_e68 pin_e68
#define pin_e69 pin_e69
#define pin_e70 pin_e70
#define pin_e71 pin_e71
#define pin_e72 pin_e72
#define pin_e73 pin_e73
#define pin_e74 pin_e74
#define pin_e75 pin_e75
#define pin_e76 pin_e76
#define pin_e77 pin_e77
#define pin_e78 pin_e78
#define pin_e79 pin_e79
#define pin_e80 pin_e80
#define pin_e81 pin_e81
#define pin_e82 pin_e82
#define pin_e83 pin_e83
#define pin_e84 pin_e84
#define pin_e85 pin_e85
#define pin_e86 pin_e86
#define pin_e87 pin_e87
#define pin_e88 pin_e88
#define pin_e89 pin_e89
#define pin_e90 pin_e90
#define pin_e91 pin_e91
#define pin_e92 pin_e92
#define pin_e93 pin_e93
#define pin_e94 pin_e94
#define pin_e95 pin_e95
#define pin_e96 pin_e96
#define pin_e97 pin_e97
#define pin_e98 pin_e98
#define pin_e99 pin_e99
#define pin_e100 pin_e100
#define pin_e101 pin_e101
#define pin_e102 pin_e102
#define pin_e103 pin_e103
#define pin_e104 pin_e104
#define pin_e105 pin_e105
#define pin_e106 pin_e106
#define pin_e107 pin_e107
#define pin_e108 pin_e108
#define pin_e109 pin_e109
#define pin_e110 pin_e110
#define pin_e111 pin_e111
#define pin_e112 pin_e112
#define pin_e113 pin_e113
#define pin_e114 pin_e114
#define pin_e115 pin_e115
#define pin_e116 pin_e116
#define pin_e117 pin_e117
#define pin_e118 pin_e118
#define pin_e119 pin_e119
#define pin_e120 pin_e120
#define pin_e121 pin_e121
#define pin_e122 pin_e122
#define pin_e123 pin_e123
#define pin_e124 pin_e124
#define pin_e125 pin_e125
#define pin_e126 pin_e126
#define pin_e127 pin_e127
#define pin_e128 pin_e128
#define pin_e129 pin_e129
#define pin_e130 pin_e130
#define pin_e131 pin_e131
#define pin_e132 pin_e132
#define pin_e133 pin_e133
#define pin_e134 pin_e134
#define pin_e135 pin_e135
#define pin_e136 pin_e136
#define pin_e137 pin_e137
#define pin_e138 pin_e138
#define pin_e139 pin_e139
#define pin_e140 pin_e140
#define pin_e141 pin_e141
#define pin_e142 pin_e142
#define pin_e143 pin_e143
#define pin_e144 pin_e144
#define pin_e145 pin_e145
#define pin_e146 pin_e146
#define pin_e147 pin_e147
#define pin_e148 pin_e148
#define pin_e149 pin_e149
#define pin_e150 pin_e150
#define pin_e151 pin_e151
#define pin_e152 pin_e152
#define pin_e153 pin_e153
#define pin_e154 pin_e154
#define pin_e155 pin_e155
#define pin_e156 pin_e156
#define pin_e157 pin_e157
#define pin_e158 pin_e158
#define pin_e159 pin_e159
#define pin_e160 pin_e160
#define pin_e161 pin_e161
#define pin_e162 pin_e162
#define pin_e163 pin_e163
#define pin_e164 pin_e164
#define pin_e165 pin_e165
#define pin_e166 pin_e166
#define pin_e167 pin_e167
#define pin_e168 pin_e168
#define pin_e169 pin_e169
#define pin_e170 pin_e170
#define pin_e171 pin_e171
#define pin_e172 pin_e172
#define pin_e173 pin_e173
#define pin_e174 pin_e174
#define pin_e175 pin_e175
#define pin_e176 pin_e176
#define pin_e177 pin_e177
#define pin_e178 pin_e178
#define pin_e179 pin_e179
#define pin_e180 pin_e180
#define pin_e181 pin_e181
#define pin_e182 pin_e182
#define pin_e183 pin_e183
#define pin_e184 pin_e184
#define pin_e185 pin_e185
#define pin_e186 pin_e186
#define pin_e187 pin_e187
#define pin_e188 pin_e188
#define pin_e189 pin_e189
#define pin_e190 pin_e190
#define pin_e191 pin_e191
#define pin_e192 pin_e192
#define pin_e193 pin_e193
#define pin_e194 pin_e194
#define pin_e195 pin_e195
#define pin_e196 pin_e196
#define pin_e197 pin_e197
#define pin_e198 pin_e198
#define pin_e199 pin_e199
#define pin_e200 pin_e200
#define pin_e201 pin_e201
#define pin_e202 pin_e202
#define pin_e203 pin_e203
#define pin_e204 pin_e204
#define pin_e205 pin_e205
#define pin_e206 pin_e206
#define pin_e207 pin_e207
#define pin_e208 pin_e208
#define pin_e209 pin_e209
#define pin_e210 pin_e210
#define pin_e211 pin_e211
#define pin_e212 pin_e212
#define pin_e213 pin_e213
#define pin_e214 pin_e214
#define pin_e215 pin_e215
#define pin_e216 pin_e216
#define pin_e217 pin_e217
#define pin_e218 pin_e218
#define pin_e219 pin_e219
#define pin_e220 pin_e220
#define pin_e221 pin_e221
#define pin_e222 pin_e222
#define pin_e223 pin_e223
#define pin_e224 pin_e224
#define pin_e225 pin_e225
#define pin_e226 pin_e226
#define pin_e227 pin_e227
#define pin_e228 pin_e228
#define pin_e229 pin_e229
#define pin_e230 pin_e230
#define pin_e231 pin_e231
#define pin_e232 pin_e232
#define pin_e233 pin_e233
#define pin_e234 pin_e234
#define pin_e235 pin_e235
#define pin_e236 pin_e236
#define pin_e237 pin_e237
#define pin_e238 pin_e238
#define pin_e239 pin_e239
#define pin_e240 pin_e240
#define pin_e241 pin_e241
#define pin_e242 pin_e242
#define pin_e243 pin_e243
#define pin_e244 pin_e244
#define pin_e245 pin_e245
#define pin_e246 pin_e246
#define pin_e247 pin_e247
#define pin_e248 pin_e248
#define pin_e249 pin_e249
#define pin_e250 pin_e250
#define pin_e251 pin_e251
#define pin_e252 pin_e252
#define pin_e253 pin_e253
#define pin_e254 pin_e254
#define pin_e255 pin_e255

```

Figura 5.11 - Compilação do projeto e geração dos arquivos em Hexadecimal para gravação.

As Figuras (5.12) à (5.15) ilustram desde a inicialização do programa utilizado para gravação, o EPICWIN, até o momento do envio dos dados para gravação.

Na Figura 5.12 é mostrado a execução do programa EPICWIN a partir da pasta na qual está alocada.

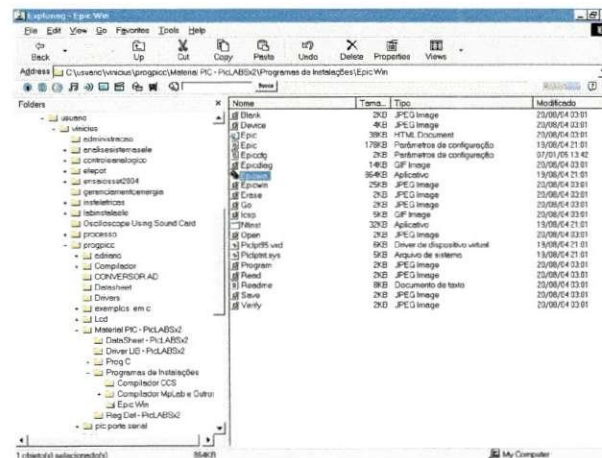


Figura 5.12 - Inicialização do EPICWIN a partir de sua pasta de trabalho.

Na Figura 5.13 é mostrado o ambiente do EPICWIN a ser utilizado na gravação do PIC.



Figura 5.13 - Visão do software EPICWIN quando inicializado.

Na Figura 5.14 é mostrado a abertura de extensão .HEX gerada pelo compilador a ser gravado no PIC.



Figura 5.14 - Abertura do arquivo compilado em hexadecimal para gravação.

Na Figura 5.15 é mostrado a escolha do tipo de microcontrolador a ser gravado.



Figura 5.15 - Indicação do tipo de microcontrolador PIC utilizado.

Na Figura 5.16 é mostrado a abertura de extensão .HEX gerada pelo compilador a ser gravado no PIC.

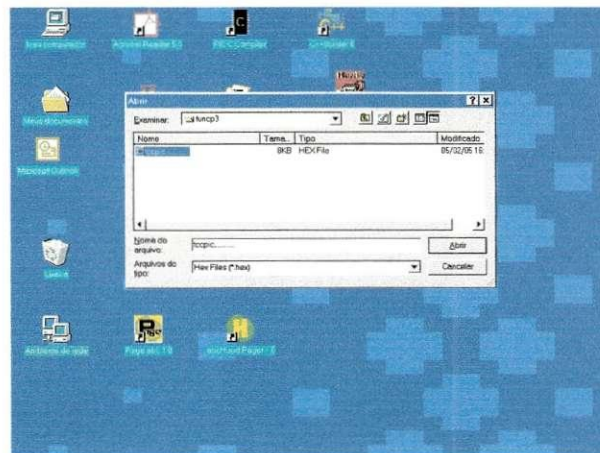


Figura 5.16 - Indicação do arquivo com extensão .HEX

Na Figura 5.17 é mostrado o comando que inicializa a gravação via porta paralela para o gravador do PIC.



Figura 5.17 - Início da gravação do microcontrolador.

Na Figura 5.18 é mostrado o acoplamento entre a placa comercial fabricada pela empresa do técnico Lúcio Hélio e a montagem em protoboard do PIC de 40 pinos.



Figura 5.18 - Início da gravação do microcontrolador.

Na Figura 5.19 é mostrado outra vista do mesmo acoplamento.

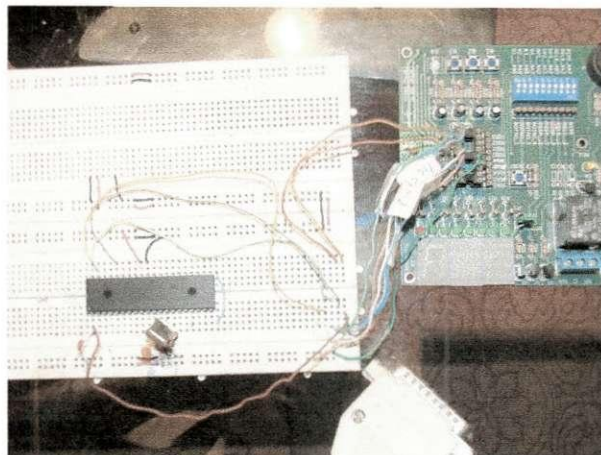


Figura 5.19 - Início da gravação do microcontrolador, outra vista.

Nos final deste trabalho estão os apêndices referentes ao programa principal utilizado na programação deste projeto, à comunicação entre o pic e o LCD, conforme programa desenvolvido por Fábio Pereira e divulgado em seu livro, e as definições do PIC relativas à linguagem C++ do compilador quando do include relativo ao PIC 16F877.

ANEXO VI
MODELO PARA LAUDO TÉCNICO



TRANSFORMADORES CAMPINENSE

CONCERTO E MONTAGEM DE TRANSFORMADORES ELÉTRICOS

R: Mestre Inácio, 25-D – Distrito dos Mecânicos – fone (0xx83) 331-2776 Campina Grande-PB
CGC: 41.208./0001-18 CEP- 58-106 -058

ENSAIO DE ROTINA DE TRASFORMADOR

Cliente:		Ordem de Serviço
Marca:	Tensões de A.T.	Corrente A.T.:
Potência:	Tensões de B.T	Corrente B.T.:
Série:	Frequência	Data de fabricação:
Fases:	Derivações:	Data de Reforma:
Ligação:	A.T. Ligado em:	Estado:
Tipos:	B.T. Ligado em:	Peso

RESULTADOS DOS ENSAIOS

RELAÇÃO DE TRANSFORMAÇÃO	RESISTÊNCIA ELÉT. DOS ENROLAMENTOS
Tensões (V)	H1.H2 (X1/X2)
Relação Nominal	H1.H3 X1/X3
I1.H3/X0.X1	H2.H3 X2/X3
I2.H1/X0.X2	Temperatura
I3.H2/X0.X3	
Erro (%)	

RESISTÊNCIA DE ISOLAÇÃO	TENSÃO INDUZIDA	TENSÃO APLICADA AO DIELÉTRICO
AT/BT (MΩ):	Tensão:	A.T/BT á Massa (kv):
AT/ Massa (MΩ):	Frequência:	B.T/A.T á Massa (kv):
BT/ Massa (MΩ):	Temperatura:	Temp. Ambiente (°C):
Megometro (Volts):	Duração da Leit.	Duração Leitura (S):
Temperatura (°C):	Resultado:	Resultado:
Duração da Leitura(S):		

PERDAS EM VAZIO	PERDAS NO COBRE	VALORES CORRIGIDOS PARA 75°C
Tensão de ensaio (V)	Tensão de C. Circ. (V)	Perdas Curto Circ. (W)
Corrente Excitação (A)	Corrente C. Circ. (A)	Perdas Totais (W)
Corrente Excitação (%)	Perda de C. Circ.	Impedância (%)
Perdas em Vazio (W)	Temperatura (°C)	Rendimento (%)

Óleo Isolante	PINTURA (NBR 10443)	DIVERSOS
Tipo:	Pintura de Fundo	Polaridade:
Volume:	Aderência	Estanqueidade
Rigidez Dielétrica:	Pintura Final	Regulação à 75°C
Classificação:		

OBS: Este transformador foi ensaiado nas tensões de referência _____ volts, na temperatura de _____ apresentando resultados compatíveis com as normas em vigor, portanto o mesmo está _____ pelo nosso controle de qualidade.

DATA

SUPERVISOR

RESPONSÁVEL PE-
LO ENSAIO